

Identifying Reliable Evaluation Metrics for Scientific Text Revision

Léane Jourdan¹, Florian Boudin^{1,2}, Nicolas Hernandez¹, Richard Dufour¹,

¹Nantes Université, École Centrale Nantes, CNRS, LS2N, UMR 6004, F-44000 Nantes, France

²JFLI, CNRS, Nantes University, France

Correspondence: leane.jourdan@univ-nantes.fr

Abstract

Evaluating text revision in scientific writing remains a challenge, as traditional metrics such as ROUGE and BERTScore primarily focus on similarity rather than capturing meaningful improvements. In this work, we analyse and identify the limitations of these metrics and explore alternative evaluation methods that better align with human judgments. We first conduct a manual annotation study to assess the quality of different revisions. Then, we investigate reference-free evaluation metrics from related NLP domains. Additionally, we examine LLM-as-a-judge approaches, analysing their ability to assess revisions with and without a gold reference. Our results show that LLMs effectively assess instruction-following but struggle with correctness, while domain-specific metrics provide complementary insights. We find that a hybrid approach combining LLM-as-a-judge evaluation and task-specific metrics offers the most reliable assessment of revision quality.

1 Introduction

Effective revision is a critical step in scientific writing, ensuring clarity, coherence, and adherence to academic standards. The writing process typically consists of four stages: 1) Prewriting, 2) Drafting, 3) Revising, and 4) Editing (Jourdan et al., 2023). The revision stage involves substantial modifications to improve readability, style, and formality (Du et al., 2022; Li et al., 2022). This step is particularly critical, as poor writing quality can obscure research findings and often contributes to paper rejection (Amano et al., 2023). As illustrated in Figure 1, the revision task takes an original paragraph and an instruction specifying the required modification as input. The expected output is a revised paragraph that aligns with the given instruction.

Given the importance of this task, reliable evaluation is crucial. Like other text generation tasks, text

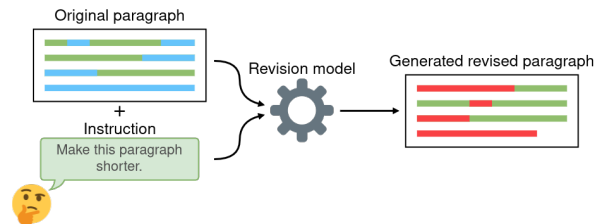


Figure 1: Overview of the text revision task

revision is assessed using well-established metrics such as ROUGE (Lin, 2004) or BERTScore (Zhang et al., 2020). While embedding-based metrics (e.g., BERTScore) capture some semantic similarity, they still primarily focus on surface-level features and lexical overlap, rather than capturing deeper aspects of text quality.

In text revision, similarity-based metrics alone fail to fully capture revision quality. Beyond surface similarity to a reference text, revision assessment requires considering improvements over the original version, meaning preservation, and adherence to the instruction. Several studies have relied on human evaluation to assess text revision systems (Du et al., 2022; Raheja et al., 2023, 2024; Ito et al., 2020; Schick et al., 2023). However, human evaluation is costly and time-consuming, making it impractical for large-scale or iterative assessments during system development. To address this limitation, we explore alternative automatic evaluation approaches that provide a more reliable and scalable assessment of revision quality.

Since text revision encompasses various sub-tasks (e.g., paraphrasing, summarization, text simplification, style transfer, grammar error correction (GEC)) (Li et al., 2022; Raheja et al., 2024; Ito et al., 2019; Kim et al., 2022), we first explore reference-free evaluation metrics commonly used to assess these tasks. These metrics compare the original and revised texts directly, rather than relying on a gold reference. Additionally, we ex-

plore different LLM-as-a-judge approaches, which can incorporate the revision instruction and potentially approximate human reasoning. With the rapid growth of LLMs, these approaches are increasingly used for evaluating diverse tasks (Gu et al., 2024). However, prior studies have shown that LLMs experience performance drops when no gold reference is provided, sometimes being outperformed by simpler methods, making them less appealing (Doostmohammadi et al., 2024; Mita et al., 2024). In this work, we aim to evaluate whether these results generalise to the text revision task and investigate the impact of providing a gold reference. Our contributions are as follows:

- We release ParaReval, a dataset of human pairwise evaluations of generated revisions.¹
- We show that traditional similarity metrics fail to accurately evaluate text revision.
- We demonstrate that LLM-as-a-judge can effectively assess instruction following without the need for a gold reference.
- We find that similarity metrics complement LLM-as-a-judge in addressing challenging cases.
- While LLM-as-a-judge performs best, we show that the ParaPLUIE metric (Lemesle et al., 2025) can serve as a cost-effective alternative for measuring meaning preservation.

2 Related Work

In this section, we categorise evaluation approaches into three types: n-gram similarity metrics, embedding-based similarity metrics, and LLM-as-a-judge methods.

2.1 N-grams Similarity Metrics

N-gram-based similarity metrics have been the standard for evaluating text generation tasks. These metrics primarily measure lexical overlap between the generated text and the reference. However, they cannot capture semantic equivalence or improvements made over the original text. The most commonly used n-gram-based metrics are:

- **BLEU** (Papineni et al., 2002): Initially developed for machine translation evaluation, BLEU has been widely used in text revision tasks (Du et al., 2022; Raheja et al., 2024; Jourdan et al.,

2024; Dwivedi-Yu et al., 2024; Mücke et al., 2023).

- **ROUGE** (Lin, 2004): Designed for summarization evaluation, ROUGE includes several variants, with **ROUGE-L** being the most commonly used in text revision (Du et al., 2022; Jourdan et al., 2024, 2025; Dwivedi-Yu et al., 2024).
- **METEOR** (Banerjee and Lavie, 2005): A unigram matching metric for machine translation, less sensitive to paraphrasing than BLEU. Used in text revision by Mücke et al. (2023).
- **GLEU** (Napoles et al., 2015): A variant of BLEU tailored for GEC, and used for text revision in (Dwivedi-Yu et al., 2024; Raheja et al., 2023). It takes the source text into account, rewarding corrections and crediting unchanged parts, while also penalizing ungrammatical edits.
- **SARI** (Xu et al., 2016): Designed for automatic text simplification, it is the most commonly used metric for evaluating text revision (Du et al., 2022; Raheja et al., 2023, 2024; Jourdan et al., 2024, 2025; Dwivedi-Yu et al., 2024). It compares the system’s output to both the reference and the source texts, rewarding correct additions, deletions, and retention of words.

BLEU, ROUGE and METEOR metrics score the similarity between the generated output and a reference text. SARI and GLEU are the only metrics that consider the source text, which is essential for assessing improvements in text revision. However, while they are interpretable, they struggle with tasks requiring deeper semantic understanding, such as evaluating instruction following or measuring improvements over the original text.

2.2 Embedding Similarity Metrics

Embedding-based metrics like BERTScore (Zhang et al., 2020), MoverScore (Zhao et al., 2019) or SemDist (Kim et al., 2021) are designed to capture semantic similarity beyond surface-level lexical overlap. These methods compare the embeddings of generated and reference texts to assess their alignment. In text revision, only BERTScore has been used (Mücke et al., 2023; Jourdan et al., 2024). It computes cosine similarity between contextualised embeddings from BERT for corresponding words in reference and generated sentences.

¹<https://github.com/JourdanL/parareval>

2.3 LLM-as-a-Judge Approaches

Recent works have explored the use of LLM-as-a-judge for evaluating generation tasks to go beyond surface similarity. These approaches treat evaluation as a judgment task, where an LLM assesses generated text based on multiple criteria. Several classification schemes have been proposed: Gu et al. (2024) propose to categorise them into *Scores*, *Yes or No*, *Pair* and *Multiple choice*. Zheng et al. (2023) propose three different variations: *pairwise comparison*, *single-answer grading(score)* and *reference-guided grading*.

Notably, Doostmohammadi et al. (2024) proposed evaluating generated text on three dimensions: *naturalness* (does the generation sound natural and fluent?), *relatedness* (is the generation related to the prompt and follow the required format?), and *correctness* (is the generation correct?, with meaning varying by task). For text revision evaluation, Mita et al. (2024) designed a one-question pairwise comparison prompt and tested it in a zero and few-shot settings. However, their results showed that this approach underperformed compared to a fine-tuned BERT classifier.

For our LLM-as-a-judge approaches, we build on these works and we propose a combination of the three variations from (Zheng et al., 2023).

3 Experimental Setup

To examine the limitations of traditional similarity metrics, we first generate multiple revised outputs using various LLMs and manually evaluate them.

3.1 Dataset

We use the evaluation split of the ParaRev dataset (Jourdan et al., 2025), which contains 258 pairs of revised paragraphs extracted from scientific articles revised by the authors themselves. Each paragraph is annotated with two different revision instructions, resulting in a total of 516 data points. Additionally, each paragraph is labelled with its revision intention type, which will be used in our analysis, the taxonomy is provided in Table 1.

3.2 Revision Models

To ensure a diverse set of revision outputs in terms of quality, we generate revised paragraphs for each *original paragraph + instruction* pair using 6 different models. The models used are the following:

- **CoEdIT-XL**, a T5-based model fine-tuned for sentence revision (Raheja et al., 2023)

Type		Description
Rewriting	Light	Minor changes in word choice or phrasing.
	Medium	Complete rephrasing of sentences within the paragraph.
	Heavy	Significant rephrasing, affecting at least half of the paragraph.
Concision		Same idea, stated more briefly by removing unnecessary details.
Content	Deletion	Modification of content through the deletion of an idea.

Table 1: Taxonomy of revisions at paragraph level

- Open LLMs: **Llama 3 8B Instruct**, **Llama 3 70B Instruct**, **Mistral 7B Instruct v0.2**
- Closed-source LLMs: **GPT 4o mini**, **GPT 4o**

The prompts are provided in Appendix A.

3.3 Annotation Task

To identify which metrics best reflect the true quality of revisions, we conducted a manual evaluation comparing human judgments with automatic metric scores. For this, we designed an annotation task where human annotators compared pairs of revision candidates and selected their preferred version.

We carried out the annotation with the help of 10 annotators: 3 professors and 7 PhD students, all non-native English speakers but experienced in both reading and writing scientific papers in NLP. Each annotation instance consisted of two revision suggestions for a given paragraph, produced in Section 3.1, along with the corresponding revision instruction. Annotators answered a series of questions to assess the quality of the revisions:

- Q1A and Q1B **Relatedness** x2: *Did model A/B address the instruction? {Yes strictly, Yes with additional modifications, No}*
- If it was your article and your instruction:
 - Q2 **Correctness**: *Which revisions would you consider acceptable? {Both, A only, B only, None}*
 - Q3 **Preference**: *Which revision would you prefer to include in your paper? {Both, A, B, None}*
- Category-Specific Evaluation, *{Both, A, B, None}* are possible answers for each question:
 - Rewriting light: *Which model improves the academic style and English the most?*
 - Rewriting medium: *Which model improves the readability and structure the most?*

- Rewriting heavy: *Which model improves the readability and clarity the most?*
- Concision: *Which model manages the most to give a shorter version while keeping all the important ideas?*

A screenshot of the annotation environment is available in Appendix B. To ensure fair evaluation, we balanced the pairwise comparisons across models, ensuring that each model was compared to the others a similar number of times.

3.4 Annotation Phase Results

From the evaluation subset of the dataset, we generated 1,548 pairs of revised paragraphs for annotation. Among these, 129 pairs (8.33%) received double annotations to measure inter-annotator agreement. The agreement scores (Cohen’s Kappa κ) for each question are reported in Table 2.

For our analysis, as we are studying the metrics’ capacity to identify the best revision among two propositions, we introduce the notion of Extended Preference. Even if annotators select *None* for the Preference question, a model is still considered preferable if it is the only one *Correct* or *Related* to the instruction. We then consider the leftovers *Both* and *None* as *Ties*.

Question	κ	Agreement
Relatedness	0.54	Moderate
Correctness	0.55	Moderate
Preference	0.33	Fair
Concision	0.22	Fair
Rewriting light	0.41	Moderate
Rewriting medium	0.48	Moderate

Table 2: Cohen’s Kappa (κ) for each question.

Figure 2 presents the distribution of human preferences across models. Based on human annotations, GPT-4o emerges as the best-performing revision model, being strictly favoured in 58.33% of comparisons. Llama 3 70B follows, with a preference rate of 53.68%. When doing pairwise comparison of revision models, we observe that Llama 3 70B is in a tie with GPT-4o. For more details, we also report the pairwise preferences on revision models in Appendix C.

4 Limitations of Similarity-based Metrics

In this section, we evaluate generated revisions and study the weaknesses of similarity-based metrics.

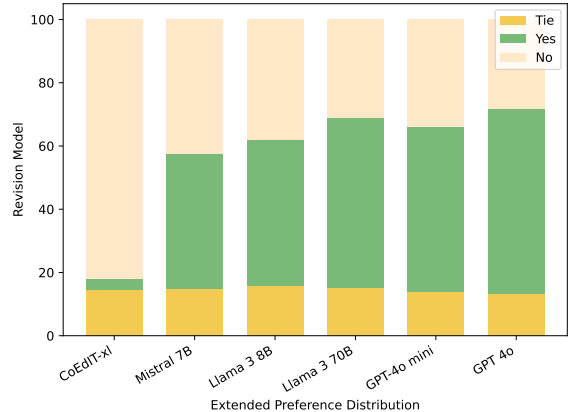


Figure 2: Distribution of human extended preference for each revision model. The green area indicates cases where the model is preferred.

4.1 Performance of Revision Models with Similarity-based Metrics

To determine the best revision model, we evaluate each generated revision using traditional similarity-based metrics by comparing it to a reference. Additionally, we compare the scores of these models with a no-edits baseline that simply recopies the input as output. Results are presented in Table 3. We observe that all metrics, except GLEU, consider the no edits baseline to be the best-performing approach, with CoEdit-XL also being a strong contender. However, upon manual inspection, we find that CoEdit-XL tends to perform minimal revisions, such as correcting grammar and typos or, in some cases, excessively deleting parts of the paragraph. This suggests that these metrics favour not making any changes rather than rewarding meaningful, in-depth revisions.

4.2 Redundancy and Correlation Among Metrics

To further investigate this issue, we analyse the correlation between different metrics and their relationship with edit distance (Levenshtein distance). We compute the Pearson correlation coefficient between all metrics (see Figure 3). We observe that most metrics are highly correlated, suggesting they provide redundant information. The only exception is SARI, which differs from most other metrics because it considers the original text, the generated revision, and the reference. These results suggest that, although we aim to use different metrics to study the revisions from various angles, most of them ultimately convey the same information.

Rev. Model	BLEU	ROUGE-L	METEOR	GLEU	SARI	Bertscore	BLANC	BETS	ParaPLUIE
no edits gold	66.00	78.30	83.80	25.78	60.63	95.95	<u>55.21</u>	<u>2.461</u>	<u>20.93</u>
CoEdit-XL	50.24	67.46	66.66	23.84	39.60	93.90	58.96	1.554	19.35
Mistral-7B	27.77	50.79	54.02	15.38	31.63	92.14	41.59	<u>2.491</u>	23.02
Llama-3-8B	41.66	62.07	62.00	25.78	39.33	93.53	49.09	2.364	22.67
Llama-3-70B	46.78	65.61	67.20	30.31	42.74	93.90	52.27	2.386	22.58
GPT4o-mini	51.68	69.54	<u>72.70</u>	32.67	<u>45.06</u>	94.80	54.89	2.497	22.74
GPT4o	49.34	68.20	69.88	<u>31.35</u>	43.54	94.45	53.62	2.454	<u>22.86</u>

Table 3: Results on the paragraph revision task with traditional and alternative metrics.

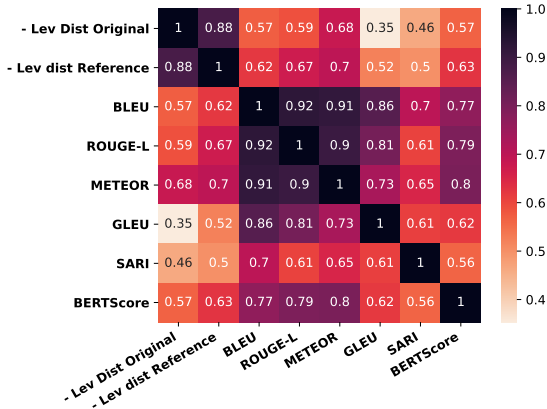


Figure 3: Correlation of the similarity metrics against each other and to the negative edit distance.

4.3 Sensitivity of Metrics to Edit Distance

The first two columns of Figure 3 show a strong correlation between similarity metrics and negative edit distance, both in relation to the original and the reference paragraph. This relation is further illustrated in Appendix D. Two key observations emerge:

- **First, metrics only capture surface similarity.** The high correlation with the distance between the reference and generated revision suggests that traditional metrics mostly reflect how closely a model replicates the reference revision, rather than evaluating the quality of the revision itself. Even BERTScore, despite being based on embeddings and computationally more expensive, ultimately provides similar information to simpler distance-based metrics.
- **Second, substantial revisions are penalised.** The strong correlation between metric scores and the distance between the original and generated text indicates that the more a revision deviates from the original paragraph, the lower its score. This suggests that traditional metrics do not reward substantial, qualitative improvements, such

as restructuring sentences or enhancing clarity. Instead, they encourage conservative edits that closely match the reference.

This phenomenon creates a major evaluation bias: Models that produce minimal edits receive higher scores and valid, but different, improvements are penalised. In many cases, making no revision at all results in a higher score than making meaningful changes, as exemplified in Figure 4.

Among all metrics, SARI and GLEU stand out by having a lower correlation to edit distance (≤ 0.52), as they explicitly penalise unchanged text edits, thereby encouraging revision.

5 Exploring Alternative Evaluation Approaches

The goal of this section is to identify evaluation metrics that better correlate with human assessments of text revision quality.

5.1 Metrics from Related NLP Domains

We hypothesise that in text revision, an essential factor is the comparison to the original text, as the metrics computing the similarity to a reference revision tend to overlook whether the modification effectively improves the original text. SARI and GLEU are widely used in text revision because they consider both the original and reference texts.

Additionally, text revision encompasses various subtasks depending on the type of modification conducted. Raheja et al. (2024) classified revisions into three main categories: GEC, Simplification, and Paraphrasing. They evaluated each with a distinct set of metrics. This suggests that a single metric may not be sufficient for text revision, as we are not trying to capture the same phenomenon depending on the type of revision.

Inspired by these ideas, we explore metrics from related NLP domains, selecting those that consider the original text and align with specific types of

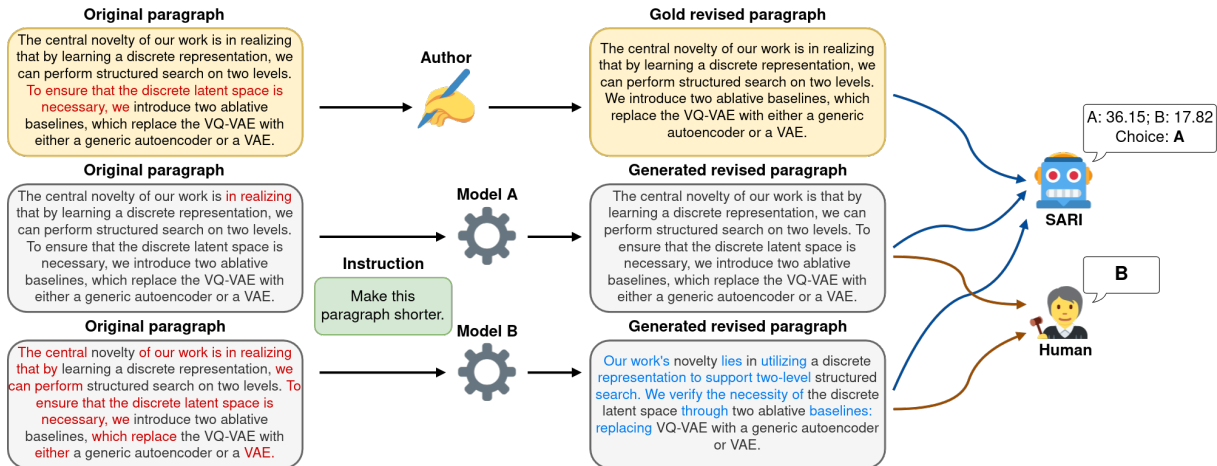


Figure 4: Overview of the evaluation in a case where automatic evaluation (here SARI) and human judgment don't align.

revision (e.g., text summarization metrics for concision tasks or paraphrase evaluation metrics for rewriting tasks). We identify three candidate metrics, taking the original and generated revised paragraph as input:

- **BETS** (Zhao et al., 2023): Designed for text simplification to assess meaning preservation and comparative simplicity at the level of modified word pairs, using BERT embeddings.
- **BLANC** (Vasilyev et al., 2020) (BLANC-help variant): Designed for document summarization as a replacement for ROUGE. It measures how *helpful* a summary is to understand a text, using a BERT-based model.
- **ParaPLUIE** (Lemesle et al., 2025): A metric for paraphrase detection that prompts Mistral 7B and uses perplexity scores when suggesting a Yes or No answer- instead of the generated text.

Table 3 presents the evaluation results using these three candidate metrics, we also add the results comparing the original paragraph to the gold revision for comparison. BETS and ParaPLUIE present a similar ranking of their preferred models and rank CoEdit-XL last like human annotation. Conversely, BLANC follows the one of similarity-based metrics.

Figure 5 reports the correlations between these new metrics and negative edit distance. Except for BLANC, these metrics showcase a low correlation to the edit distance. Additionally, in Appendix D, we visualise these correlation relations.

BETS and ParaPLUIE emerge as promising candidates for evaluating text revision, while BLANC

appears less suitable. We further investigate their alignment with human annotations to confirm their effectiveness in Sections 5.3 and 6.

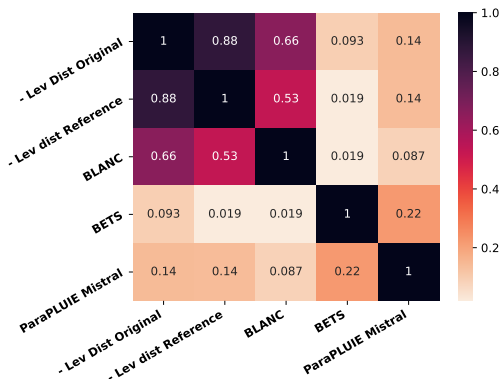


Figure 5: Correlation of the out-of-domain metrics against each other and to the negative edit distance.

5.2 LLM-as-a-Judge

An additional hypothesis is that text revision should not only account for the original text but also assess the model's ability to follow instructions effectively. We explore LLM-as-a-Judge approaches to evaluate both these aspects.

We experiment with different approaches for LLM-as-a-judge, based on the work of Doostmohammadi et al. (2024), who employed GPT-4 as a judge to evaluate three key criteria in generated text: 1) *Naturalness*, 2) *Relatedness*, and 3) *Correctness*. Since our task involves modifying existing text rather than generating it from scratch, *Naturalness* is not relevant to our evaluation. However, *Relatedness* (whether the revision follows the instruction), aligns with Q1A and Q1B from our

human annotation and *Correctness* (whether the revision is acceptable) aligns directly with Q2. We structure our prompt similarly to the human annotation task to evaluate these two aspects.

We explore two approaches from Gu et al. (2024) for using LLMs as judges: Generating scores (*LLM-Likert*) where the model is presented individual revisions to grade them, and Yes or No questions + Pairwise comparisons (*LLM-Choice*) where the model is presented with pairs of revisions to select its preferred one or declare a tie. As Doostmohammadi et al. (2024) pointed out a drop in performance when GPT-4o was not provided a gold reference, we experimented with these two approaches with and without a gold reference. The prompts are provided in Appendix E.

Since our revision candidates were generated by multiple LLMs, we ensure a fair evaluation by also using multiple LLMs as judges. This helps to reduce potential bias, where a model might favour its own outputs. In Appendix F, we analyse the preferences of each LLM judge and discuss this potential bias.

We averaged agreements over three runs for all models except GPT-4o due to cost constraints. However, in the main body of the paper, we further average the results of all models per approach to present them more concisely.

The results with LLM-as-a judge approaches are reported in Table 4. All approaches agree with human annotation on CoEdit-XL being the less performing revision model and on LLama70B being a strong option for the task. However, LLM-likert scores are really close.

Rev. Model	LLM-choice		LLM-likert	
	base	w. gold	base	w. gold
CoEdit-XL	6.15	8.82	3.385	3.487
Mistral-7B	64.95	56.73	4.816	4.497
Llama-3-8B	58.88	<u>57.08</u>	<u>4.789</u>	4.472
Llama-3-70B	<u>59.34</u>	60.20	4.784	<u>4.479</u>
GPT4o-mini	50.52	52.33	4.750	4.447
GPT4o	50.85	51.41	4.743	4.443

Table 4: Results on the paragraph revision task with LLM-as-a-judge evaluation. For LLM-choice, we report the extended preference and for LLM-likert, we report the average of all criteria.

5.3 Results

After identifying all the candidate metrics, we assess their alignment with human judgement using

three distinct measures to convey this agreement: Cohen’s Kappa (κ), Cramér’s V (V), and Pairwise Accuracy to account for ties (Deutsch et al., 2023). Table 5 reports the alignment of automatic evaluation methods with human judgments, we add a random baseline for comparison. As BLEU, ROUGE-L and METEOR are highly correlated, we report only ROUGE-L results in the main body of this paper.

LLM-Choice emerges as the most reliable evaluation option, followed by ParaPLUIE. LLM-Likert and GLEU also exhibit strong alignment. However, while LLM-Likert achieves higher accuracy when making a decision, it tends to overclassify cases as ties (See Appendix G).

Judge	Pair acc.	V	κ
Avg. LLM choice	0.496	<u>0.239</u>	0.247
Avg. LLM likert	0.338	0.240	0.181
ParaPLUIE	<u>0.477</u>	0.225	<u>0.197</u>
BETS	0.437	0.152	0.127
BLANC	0.312	0.117	-0.080
BERTScore	0.395	0.161	0.034
SARI	0.416	0.184	0.071
GLEU	0.448	0.193	0.138
ROUGE-L	0.373	0.179	-0.013
Random	<u>0.264</u>	<u>0.027</u>	<u>-0.006</u>

Table 5: Alignment of automatic metrics with human judgements across all data. Pairwise accuracy and Cramér’s V are defined on [0:1] and Cohen’s Kappa on [-1:1].

6 Performance by Aspects

In this section, we further analyse performance at a finer granularity on two aspects to see if the performances vary with the type of revision or the difficulty to discriminate the pair of propositions.

6.1 Performance by Revision Category

To test our hypothesis from Section 5.1, we analyse the alignment of human and automatic judgments across different revision types using ParaRev label annotations (see Figure 6). For most categories, LLM-Choice is the most reliable evaluation approach. However, for cases where paragraph content is minimally altered (Rewriting Light, Rewriting Medium and Concision), ParaPLUIE appears as a good alternative to capture meaning-preservation, as it is less costly than LLM-as-a-judge approaches. For instance, it processed our

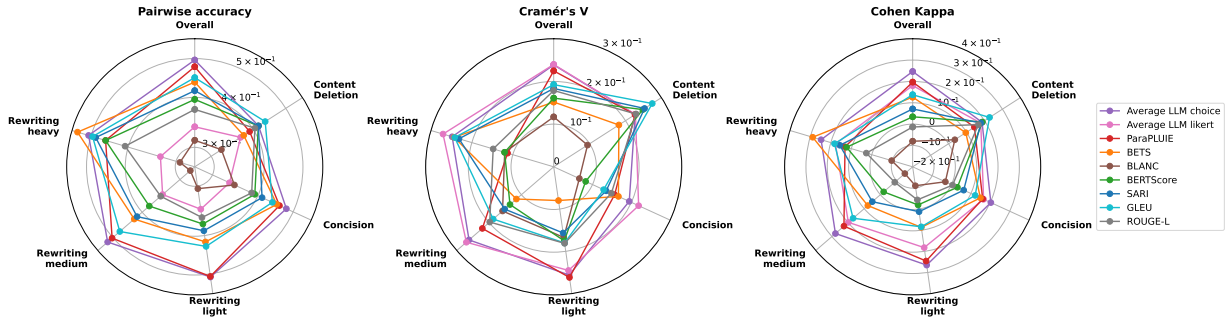


Figure 6: Alignment of automatic metrics with human annotations by revision category

dataset in just 11 minutes, compared to 1 hour and 22 minutes required for Mistral 7B-Choice on a V100 GPU.

For Content Deletion, n-gram similarity-based metrics such as GLEU and SARI offer cost-efficient alternatives, aligning as well as or better than LLM-Choice with human preferences by leveraging reference-based deletion information.

Finally, for Rewriting Heavy, BETS outperforms other metrics and aligns better to human annotation than in other categories of revisions. In this category, the meaning of the paragraph must remain the same, while undergoing in-depth restructuring and rephrasing of most of the content. In the dataset, many of the instructions associated with these paragraphs focus on making them clearer, more readable, or easier to understand, which can be linked to the task of text simplification. BETS is a balanced score between meaning preservation and text simplification, which likely explains its strong performance in this category.

6.2 Performance by Difficulty

To further assess metric effectiveness, we analyse performance across varying difficulty levels. We categorise revision pairs based on human annotation difficulty levels:

- Easy Cases (530 pairs): defined by Q1A and Q1B, one model followed the instruction while the other did not.
- Medium Cases (214 pairs): defined by Q2, both models followed the instruction, but only one produced an acceptable revision.
- Hard Cases (575 pairs): defined by Q3: Both revisions were acceptable, but one was preferred.

We report the alignment by difficulty in Figure 7. We observe that *LLM-Choice* performs best in easy cases, achieving 0.821 accuracy. This suggests

that LLMs are particularly effective at recognising whether a revision follows the given instruction, an ability that none of the other metrics possess. However, for medium cases, where both revisions comply with the instruction, similarity-based metrics outperform LLMs in identifying the best option. We posit that these metrics can leverage information from the gold reference to assess the expected revision more effectively.

For hard cases, none of the metrics perform well, with all methods showing low alignment with human judgments, as the task becomes even more subjective. In such situations, the preference for one revision over another may depend largely on the original author’s writing style and intent, making automatic evaluation difficult. However, ParaPLUIE seems to be the best option for evaluating these hard cases, ensuring that the original meaning of the paragraph is preserved during the revision process and preventing the revision model from hallucinating.

Since LLMs struggle with correctness assessment, we further analyse this aspect in Appendix H, correlating results with preliminary human annotation questions. A full alignment breakdown including all metrics is available in Appendix I.

6.3 Impact of Providing Gold Reference for LLM-as-a-Judge Approaches

We examine whether providing the gold reference influences the performance of LLM-as-a-judge methods and find minimal impact. *LLM-Choice* accuracy vary slightly from 0.496 to 0.494 when provided with the gold reference and *LLM-Likert* from 0.338 to 0.363. Our findings contrast with Doostmohammadi et al. (2024), who reported that in the absence of a reference, GPT-4o exhibited weaker alignment with human judgments. This suggests that LLMs rely heavily on their own internal reasoning rather than direct comparisons to a gold-

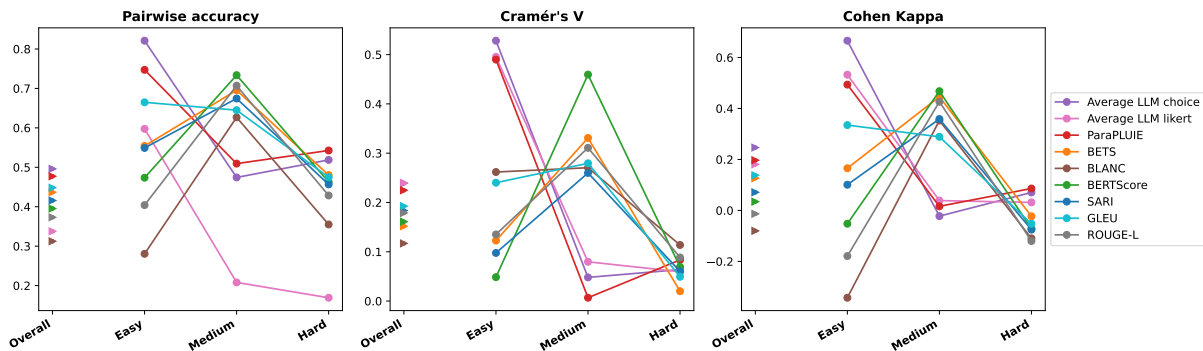


Figure 7: Alignment of automatic metrics with human annotations, by difficulty. The triangles in the first column represent the agreement on the total dataset from Table 5

standard revision. More details in Appendix J.

7 Discussion and Conclusion

In this article, we identified the most reliable metrics to evaluate scientific text revision. The identification of those metrics will allow a better analysis of existing text revisions strategies and designing new models for this task.

Our results suggest that LLMs-as-a-judge methods effectively assess whether a revision follows instructions but struggle to distinguish between two strong candidates and need to be completed by other metrics. Traditional similarity metrics, while not designed to assess instruction-following, prove valuable in differentiating between valid revisions. Their ability to compare revisions against a reference provides a tie-breaking mechanism when LLMs fail to make a clear distinction.

However, LLM-as-a-judge methods remain computationally expensive. To mitigate this, we recommend using a smaller, complementary set of metrics that strikes a balance between cost, interpretability, and alignment with human judgments. This subset could include a small LLM to evaluate instruction-following, ParaPLUIE for meaning preservation, and similarity-based metrics like SARI and GLEU, which leverage information from the gold reference to help differentiate between more challenging cases.

8 Limitations

The primary limitation of this work is the size of the dataset, as we were limited by the size of the evaluation split of ParaRev dataset and only had a limited number of volunteer researchers for manual annotation. As it need to be conducted with qualified annotators (researchers) our human resources are very limited, leading to a smaller double-annotated

subset. A larger amount of annotated data would enhance the reliability of our analysis, strengthening the claims we made in this paper.

Additionally, preference-based annotation is inherently subjective, as reflected in the Cohen’s Kappa scores in Table 2. For the ParaReval dataset, we first annotated a double-annotated subset and retained the annotations from researchers with the highest agreement. Those with the highest agreement scores continued the annotation process to enhance reliability. The choice of annotators (similar background) may also introduce a bias.

We were also limited by computational resources, as LLMs use a lot of energy. Our priority was to ensure that our results were model-independent, so we conducted the same experience with different models but using only one prompt. However, it would have been preferable to also check the prompt-independent aspect (Mizrahi et al., 2024).

Finally, numerous methods and metrics have been proposed to evaluate tasks in text generation throughout the years. To keep our analysis clear, we considered a limited number of them. For the LLM-based approaches, a larger number of runs would have been preferable for GPT-4o but due to cost issues, we had to limit it to one run per approach.

9 Ethical Considerations

Data availability All the data are from the ParaRev corpus, the paragraphs are extracted from scientific articles collected on OpenReview where they fall under different "non-exclusive, perpetual, and royalty-free license" ².

Computational resources

²<https://openreview.net/legal/terms>

- To generate revisions with Co-edit and experiment with BERT-based metrics, we used a local GeForce RTX 2080 11Go GPU for approximately 12 hours.
- To use ParaPLUIE and the different open LLMs to generate revisions and evaluation, we used V100 and A100 GPUs for a total of 249 hours on a supercomputer, equivalent to 0.009 tons of CO_2 .
- To use GPT-4o mini and GPT-4o we spent 29.01\$ spent on GPT API credits.

Acknowledgments

We thank Anas Belfathi, Maël Houbre, Trung Hieu Ngo, Xavier Pillet, Mohamed Reda Marzouk and Thomas Sebbag for their participation in human evaluation.

We thank Thomas Sebbag for proof-reading this paper.

This work was granted access to the HPC resources of IDRIS under the allocations 2023-AD011013901R1, 2024-AD011013901R2 and 2024-AD011014882R1 made by GENCI.

References

- Tatsuya Amano, Valeria Ramírez-Castañeda, Violeta Berdejo-Espinola, Israel Borokini, Shawan Chowdhury, Marina Golivets, Juan David González-Trujillo, Flavia Montaña-Centellas, Kumar Paudel, Rachel Louise White, et al. 2023. The manifold costs of being a non-native english speaker in science. *PLoS Biology*, 21(7):e3002184.
- Satanjeev Banerjee and Alon Lavie. 2005. **METEOR: An automatic metric for MT evaluation with improved correlation with human judgments**. In *Proceedings of the ACL Workshop on Intrinsic and Extrinsic Evaluation Measures for Machine Translation and/or Summarization*, pages 65–72, Ann Arbor, Michigan. Association for Computational Linguistics.
- Daniel Deutsch, George Foster, and Markus Freitag. 2023. Ties matter: Meta-evaluating modern metrics with pairwise accuracy and tie calibration. In *Proceedings of the 2023 Conference on Empirical Methods in Natural Language Processing*, pages 12914–12929.
- Ehsan Doostmohammadi, Oskar Holmström, and Marco Kuhlmann. 2024. **How reliable are automatic evaluation methods for instruction-tuned LLMs?** In *Findings of the Association for Computational Linguistics: EMNLP 2024*, pages 6321–6336, Miami, Florida, USA. Association for Computational Linguistics.
- Wanyu Du, Zae Myung Kim, Vipul Runderstandaheja, Dhruv Kumar, and Dongyeop Kang. 2022. **Read, revise, repeat: A system demonstration for human-in-the-loop iterative text revision**. In *Proceedings of the First Workshop on Intelligent and Interactive Writing Assistants (In2Writing 2022)*, pages 96–108, Dublin, Ireland. Association for Computational Linguistics.
- Jane Dwivedi-Yu, Timo Schick, Zhengbao Jiang, Maria Lomeli, Patrick Lewis, Gautier Izacard, Edouard Grave, Sebastian Riedel, and Fabio Petroni. 2024. **EditEval: An instruction-based benchmark for text improvements**. In *Proceedings of the 28th Conference on Computational Natural Language Learning*, pages 69–83, Miami, FL, USA. Association for Computational Linguistics.
- Jiawei Gu, Xuhui Jiang, Zhichao Shi, Hexiang Tan, Xuehao Zhai, Chengjin Xu, Wei Li, Yinghan Shen, Shengjie Ma, Honghao Liu, et al. 2024. A survey on llm-as-a-judge. *arXiv preprint arXiv:2411.15594*.
- Takumi Ito, Tatsuki Kuribayashi, Masatoshi Hidaka, Jun Suzuki, and Kentaro Inui. 2020. **Langsmith: An interactive academic text revision system**. In *Proceedings of the 2020 Conference on Empirical Methods in Natural Language Processing: System Demonstrations*, pages 216–226, Online. Association for Computational Linguistics.
- Takumi Ito, Tatsuki Kuribayashi, Hayato Kobayashi, Ana Brassard, Masato Hagiwara, Jun Suzuki, and Kentaro Inui. 2019. **Diamonds in the rough: Generating fluent sentences from early-stage drafts for academic writing assistance**. In *Proceedings of the 12th International Conference on Natural Language Generation*, pages 40–53, Tokyo, Japan. Association for Computational Linguistics.
- Léane Jourdan, Florian Boudin, Richard Dufour, Nicolas Hernandez, and Akiko Aizawa. 2025. **ParaRev: Building a dataset for scientific paragraph revision annotated with revision instruction**. In *Proceedings of the First Workshop on Writing Aids at the Crossroads of AI, Cognitive Science and NLP (WRAICOGS 2025)*, pages 35–44, Abu Dhabi, UAE. International Committee on Computational Linguistics.
- Léane Jourdan, Florian Boudin, Nicolas Hernandez, and Richard Dufour. 2024. **CASIMIR: A corpus of scientific articles enhanced with multiple author-integrated revisions**. In *Proceedings of the 2024 Joint International Conference on Computational Linguistics, Language Resources and Evaluation (LREC-COLING 2024)*, pages 2883–2892, Torino, Italia. ELRA and ICCL.
- Léane Jourdan, Florian Boudin, Richard Dufour, and Nicolas Hernandez. 2023. **Text revision in scientific writing assistance: An overview**. In *13th International Workshop on Bibliometric-enhanced Information Retrieval (BIR)*, number 3617 in CEUR Workshop Proceedings, pages 22–36, Aachen.
- Suyoun Kim, Abhinav Arora, Duc Le, Ching-Feng Yeh, Christian Fuegen, Ozlem Kalinli, and Michael L.

- Seltzer. 2021. [Semantic distance: A new metric for asr performance analysis towards spoken language understanding](#). In *Interspeech 2021*, pages 1977–1981.
- Zae Myung Kim, Wanyu Du, Vipul Raheja, Dhruv Kumar, and Dongyeop Kang. 2022. [Improving iterative text revision by learning where to edit from other revision tasks](#). In *Proceedings of the 2022 Conference on Empirical Methods in Natural Language Processing*, pages 9986–9999, Abu Dhabi, United Arab Emirates. Association for Computational Linguistics.
- Quentin Lemesle, Jonathan Chevelu, Philippe Martin, Damien Lolive, Arnaud Delhay, and Nelly Barbot. 2025. [Paraphrase generation evaluation powered by an LLM: A semantic metric, not a lexical one](#). In *Proceedings of the 31st International Conference on Computational Linguistics*, pages 8057–8087, Abu Dhabi, UAE. Association for Computational Linguistics.
- Jingjing Li, Zichao Li, Tao Ge, Irwin King, and Michael Lyu. 2022. [Text revision by on-the-fly representation optimization](#). In *Proceedings of the First Workshop on Intelligent and Interactive Writing Assistants (In2Writing 2022)*, pages 58–59, Dublin, Ireland. Association for Computational Linguistics.
- Chin-Yew Lin. 2004. [ROUGE: A package for automatic evaluation of summaries](#). In *Text Summarization Branches Out*, pages 74–81, Barcelona, Spain. Association for Computational Linguistics.
- Masato Mita, Keisuke Sakaguchi, Masato Hagiwara, Tomoya Mizumoto, Jun Suzuki, and Kentaro Inui. 2024. [Towards automated document revision: Grammatical error correction, fluency edits, and beyond](#). In *Proceedings of the 19th Workshop on Innovative Use of NLP for Building Educational Applications (BEA 2024)*, pages 251–265, Mexico City, Mexico. Association for Computational Linguistics.
- Moran Mizrahi, Guy Kaplan, Dan Malkin, Rotem Dror, Dafna Shahaf, and Gabriel Stanovsky. 2024. [State of what art? a call for multi-prompt LLM evaluation](#). *Transactions of the Association for Computational Linguistics*, 12:933–949.
- Justin Mücke, Daria Waldow, Luise Metzger, Philipp Schauz, Marcel Hoffman, Nicolas Lell, and Ansgar Scherp. 2023. [Fine-tuning language models for scientific writing support](#). In *Machine Learning and Knowledge Extraction*, pages 301–318, Cham. Springer Nature Switzerland.
- Courtney Napoles, Keisuke Sakaguchi, Matt Post, and Joel Tetreault. 2015. [Ground truth for grammatical error correction metrics](#). In *Proceedings of the 53rd Annual Meeting of the Association for Computational Linguistics and the 7th International Joint Conference on Natural Language Processing (Volume 2: Short Papers)*, pages 588–593, Beijing, China. Association for Computational Linguistics.
- Kishore Papineni, Salim Roukos, Todd Ward, and Weijing Zhu. 2002. [Bleu: a method for automatic evaluation of machine translation](#). In *Proceedings of the 40th Annual Meeting of the Association for Computational Linguistics*, pages 311–318, Philadelphia, Pennsylvania, USA. Association for Computational Linguistics.
- Vipul Raheja, Dimitris Alikaniotis, Vivek Kulkarni, Bashar Alhafni, and Dhruv Kumar. 2024. [mEdIT: Multilingual text editing via instruction tuning](#). In *Proceedings of the 2024 Conference of the North American Chapter of the Association for Computational Linguistics: Human Language Technologies (Volume 1: Long Papers)*, pages 979–1001, Mexico City, Mexico. Association for Computational Linguistics.
- Vipul Raheja, Dhruv Kumar, Ryan Koo, and Dongyeop Kang. 2023. [CoEdIT: Text editing by task-specific instruction tuning](#). In *Findings of the Association for Computational Linguistics: EMNLP 2023*, pages 5274–5291, Singapore. Association for Computational Linguistics.
- Timo Schick, Jane A. Yu, Zhengbao Jiang, Fabio Petroni, Patrick Lewis, Gautier Izacard, Qingfei You, Christoforos Nalmpantis, Edouard Grave, and Sebastian Riedel. 2023. [PEER: A collaborative language model](#). In *The Eleventh International Conference on Learning Representations*.
- Oleg Vasilyev, Vedant Dharnidharka, and John Bohannon. 2020. [Fill in the BLANC: Human-free quality estimation of document summaries](#). In *Proceedings of the First Workshop on Evaluation and Comparison of NLP Systems*, pages 11–20, Online. Association for Computational Linguistics.
- Wei Xu, Courtney Napoles, Ellie Pavlick, Quanze Chen, and Chris Callison-Burch. 2016. [Optimizing statistical machine translation for text simplification](#). *Transactions of the Association for Computational Linguistics*, 4:401–415.
- Tianyi Zhang, Varsha Kishore, Felix Wu, Kilian Q. Weinberger, and Yoav Artzi. 2020. [Bertscore: Evaluating text generation with bert](#). In *International Conference on Learning Representations*.
- Wei Zhao, Maxime Peyrard, Fei Liu, Yang Gao, Christian M. Meyer, and Steffen Eger. 2019. [MoverScore: Text generation evaluating with contextualized embeddings and earth mover distance](#). In *Proceedings of the 2019 Conference on Empirical Methods in Natural Language Processing and the 9th International Joint Conference on Natural Language Processing (EMNLP-IJCNLP)*, pages 563–578, Hong Kong, China. Association for Computational Linguistics.
- Xinran Zhao, Esin Durmus, and Dit-Yan Yeung. 2023. [Towards reference-free text simplification evaluation with a BERT Siamese network architecture](#). In *Findings of the Association for Computational Linguistics*:

ACL 2023, pages 13250–13264, Toronto, Canada. Association for Computational Linguistics.

Lianmin Zheng, Wei-Lin Chiang, Ying Sheng, Siyuan Zhuang, Zhanghao Wu, Yonghao Zhuang, Zi Lin, Zhuohan Li, Dacheng Li, Eric P. Xing, Hao Zhang, Joseph E. Gonzalez, and Ion Stoica. 2023. Judging llm-as-a-judge with mt-bench and chatbot arena. In *Proceedings of the 37th International Conference on Neural Information Processing Systems, NIPS '23*, Red Hook, NY, USA. Curran Associates Inc.

A Text Revision Prompt

Prompt segment 1: Text revision prompt messages

```

system_message= """You are a writing assistant specialised in academic writing
.
Your task is to revise the original paragraph from a research paper draft that
will be given according to the author's instruction. The input will follow
the pattern ' <author_instruction> : "<Original_paragraph>" '.
Please answer only by "Revised paragraph: <revised_version_of_the_paragraph>".
Please limit your modifications only to what is requested in the author's
instruction. Do not make any other modifications to the rest of the paragraph
.
"""

user_message= """{instruct} : \"{parag}\" """

```

B Annotation Environment

See Figure 8

ssjKkm0b5y.3wi5X8wrM_03	5220	
Categories	Instruction	
Rewriting_medium	Improve the English and the flow of this paragraph.	
Original paragraph		Model A
Hyperparameter tuning: For our PHN method we select hyperparameters based on the HV computed on a validation set. Selecting hyperparameters for the baselines is non-trivial as there is no clear criteria that is reasonable in terms of runtime. In order to select hyperparameters based on HV, each approach needs to be trained multiple times on all rays. We therefore select hyperparameters based on a single ray, and apply those for all rays. Our selection criterion is as follows: we collect all models trained using all hyperparameter configurations, and filter out the dominated solutions. Finally, we select the combination of hyperparameters with the highest uniformity.		Hyperparameter tuning: For our PHN method, we select hyperparameters based on the HV computed on a validation set. Selecting hyperparameters for the baselines is non-trivial as there is no clear criterion that is reasonable in terms of runtime. To select hyperparameters based on HV, each approach would need to be trained multiple times on all rays. Therefore, we select hyperparameters based on a single ray and apply those to all rays. Our selection criterion is as follows: we collect all models trained using all hyperparameter configurations and filter out the dominated solutions. Finally, we select the combination of hyperparameters with the highest uniformity.
Original paragraph		Model B
Hyperparameter tuning: For our PHN method we select hyperparameters based on the HV computed on a validation set. Selecting hyperparameters for the baselines is non-trivial as there is no clear criteria that is reasonable in terms of runtime. In order to select hyperparameters based on HV, each approach needs to be trained multiple times on all rays. We therefore select hyperparameters based on a single ray, and apply those for all rays. Our selection criterion is as follows: we collect all models trained using all hyperparameter configurations, and filter out the dominated solutions. Finally, we select the combination of hyperparameters with the highest uniformity.		Hyperparameter tuning: For our PHN method, we determine hyperparameters based on the Hypervolume (HV) computed on a validation set. However, selecting hyperparameters for the baselines is non-trivial, as there is no clear criteria regarding runtime. Since each approach requires multiple training iterations to select hyperparameters based on HV, we instead choose hyperparameters based on a single ray. Our hyperparameter selection criteria involves collecting all models produced using all configuration combinations and eliminating dominated solutions. The combination of hyperparameters displaying the highest uniformity is subsequently selected from the remaining solutions.
Did model A address the instruction?	Yes strictly	-
Did model B address the instruction?	Yes with additional modifications	-
If it was your article and your instruction:		
- Which revisions would you consider acceptable?	Both	-
- Which revision would you prefer to include in your paper?	B	-
Which model improve the readability and structure the most?	B	-

Figure 8: Screenshot of the annotation environment

C Human Pairwise Revision Model Preferences

See Figure 9

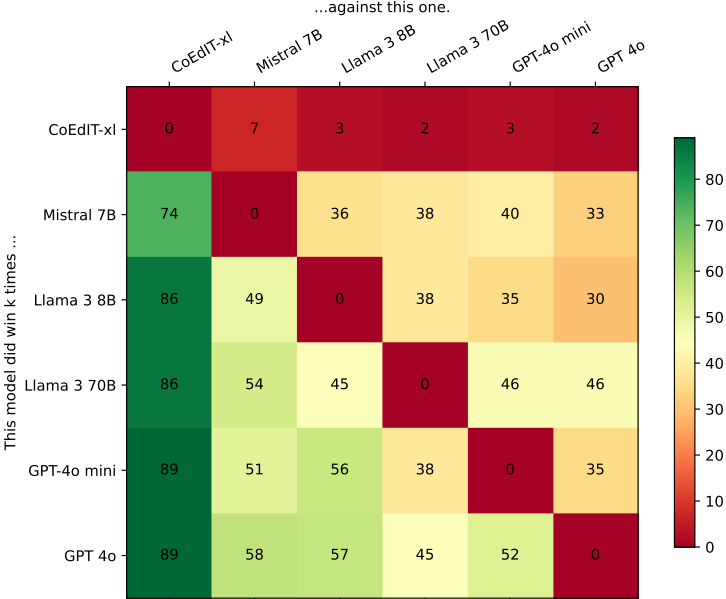


Figure 9: Pairwise comparison of human preferences on revision models.

D Relation between Metrics and Levenshtein Distance

See Figures 10, 11, 12 and 13.

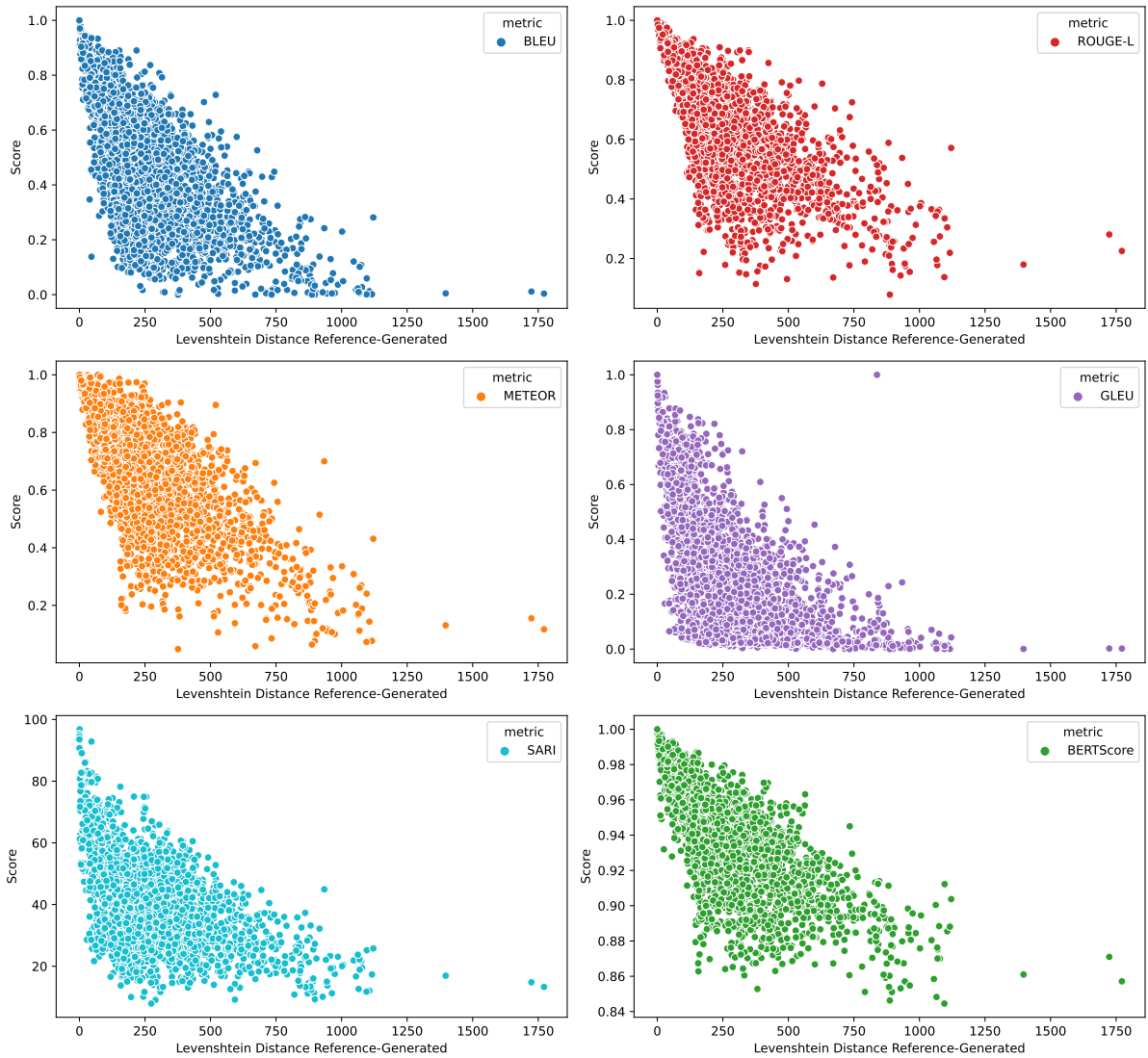


Figure 10: Distribution of similarity metrics scores based on Levenshtein distance between the reference and generated paragraph.

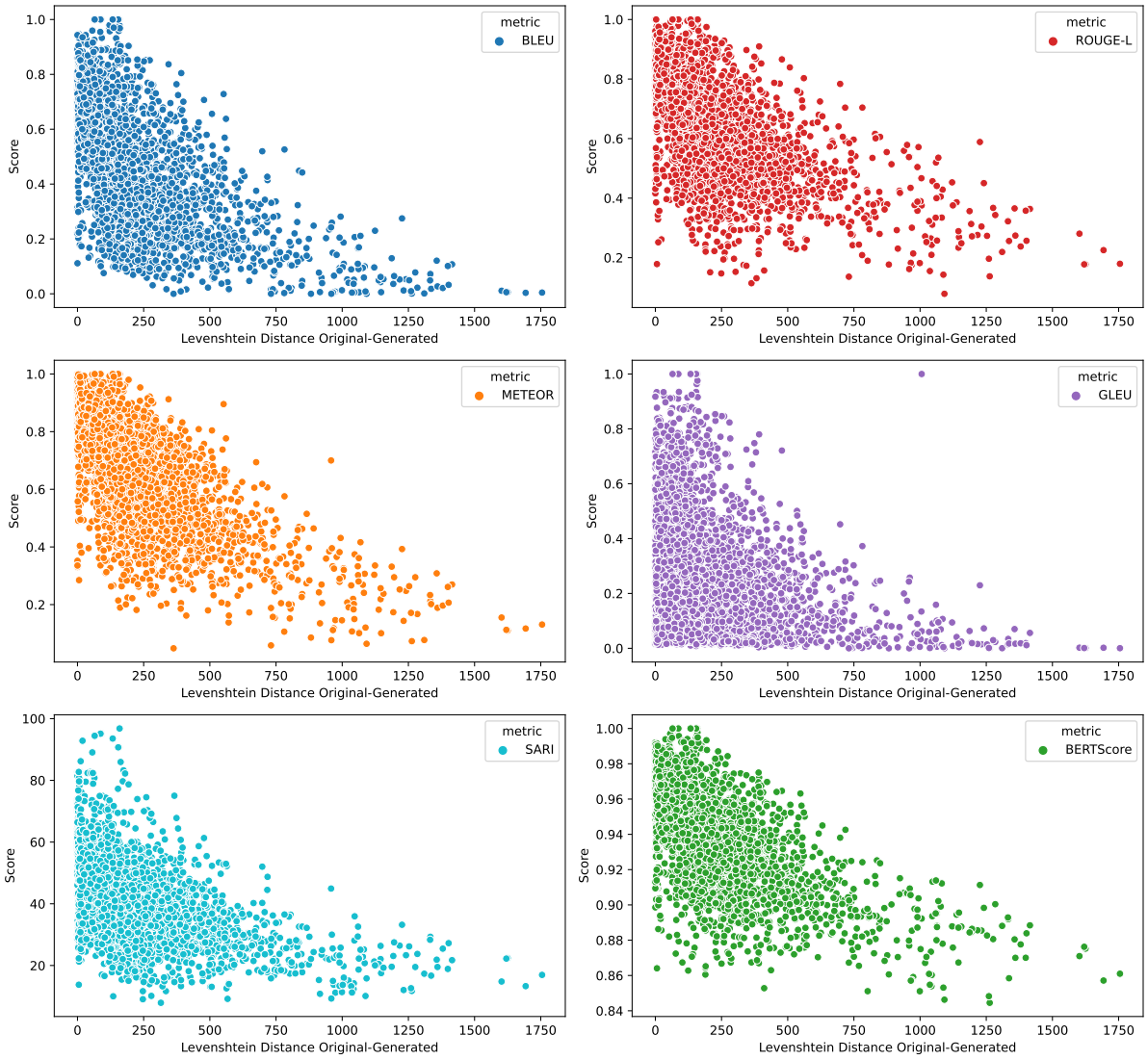


Figure 11: Distribution of similarity metrics scores based on Levenshtein distance between the original and generated paragraph.

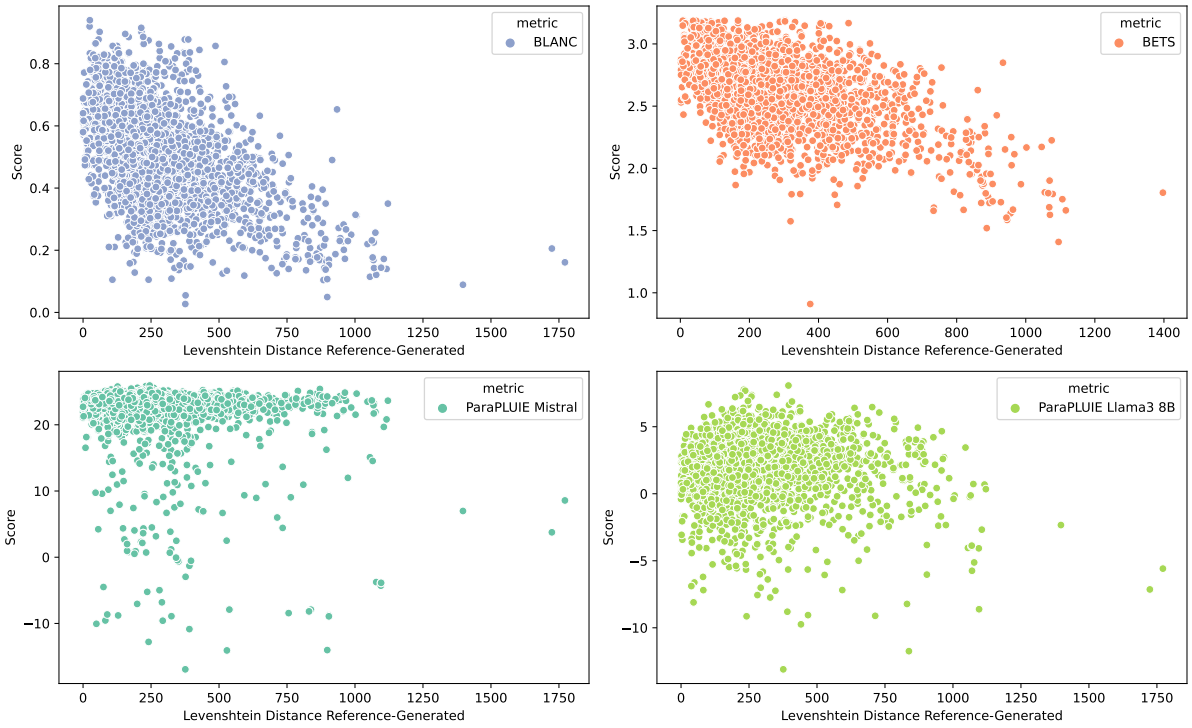


Figure 12: Distribution of alternative metrics scores based on Levenshtein distance between the reference and generated paragraph.

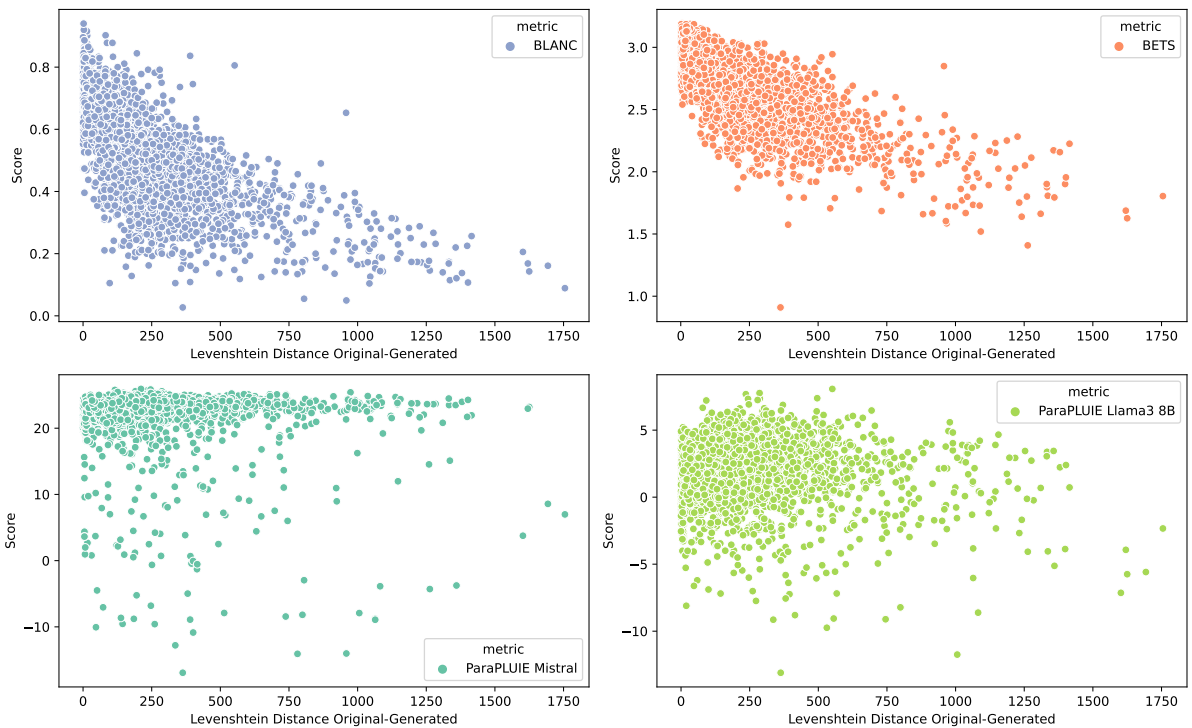


Figure 13: Distribution of alternative metrics scores based on Levenshtein distance between the original and generated paragraph.

E LLM-as-a-Judge Prompts

Our prompts are inspired by the ones used in [Doostmohammadi et al. \(2024\)](#). See Figures 14, 15 and 16 for longer prompt sections.

Prompt segment 2: LLM Choice System message without Gold

You are an evaluator of academic writing on the task of text revision. In this task, two revision models have been provided with the original paragraph written for a scientific article and a revision instruction on how to revise the paragraph. You will be given the proposition from the two different models and several questions to determine the quality of those propositions and identify the best one. In your answer please only provide the answers to the questions.

Prompt segment 3: LLM Choice System message with Gold

You are an evaluator of academic writing on the task of text revision. In this task, two revisions models have been provided with the original paragraph written for a scientific article and a revision instruction on how to revise the paragraph. You will be given the proposition from the two different models and several questions to determine the quality of those proposition and identify the best one. **To help you in this task you will also be given the gold paragraph which is the version revised by the author themselves.** In your answer please only provide the answers to the questions.

Prompt segment 4: Category Questions for LLM Choice with and without gold

Rewriting_light: ""Which model improves the academic style and English the most?""

Rewriting_medium: ""Which model improves the readability and structure the most?""

Rewriting_heavy: ""Which model improves the readability and clarity the most?""

Concision: ""Which model manages the most to give a shorter version while keeping all the important ideas?""

Prompt segment 5: LLM Choice User message with and without Gold

```
[BEGIN DATA]
***
[Original paragraph]: \"{original_paragraph}\"
***
[Revision instruction]: \"{instruction}\"
***
[Model A]: \"{modelA_generated_revised_paragraph}\"
***
[Model B]: \"{modelB_generated_revised_paragraph}\"
***
[END DATA]

1. Did model A address the instruction? Answer "Yes strictly", "Yes with
additional modifications" or "No":
- Yes strictly : The model proposition matches what is required in the
instruction. Here, the quality of the revision does not matter.
- Yes with additional modifications : The model proposed additional
modifications to the one required in the instruction. But some of the
modification address the needs stated in the instruction.
- No : The model proposition does not match the instruction.

2. Did model B address the instruction? (Answer "Yes strictly", "Yes with
additional modifications" or "No")

3. Is model A revision acceptable? Answer "Yes" or "No". Answer "Yes" if the
model made a good quality revision proposition that should replace the
original paragraph in the scientific article.

4. Is model B revision acceptable? (Answer "Yes" or "No")

5. Which model proposed the best revision? (Answer preferably "A" or "B", you
can answer "Both" if it is really a tie. Answer "None" if you answered "No" to
question 3 and 4.)""
<Additional category questions depending on the revision intention labels of
the instance>

""For all questions, you do not need to explain the reason.

Your response must be RFC8259 compliant JSON following this schema:
{"1": str, "2": str, "3": str, "4": str, "5": str ""
< "" "6": str "" and "", "7": str "" can be added depending on the number
of labels of the instance.>
""}]}
```

Figure 14: User message for prompting LLM Choice with and without Gold

Prompt segment 6: Category Questions for LLM Likert with and without gold

```
Rewriting_light: ""The academic style and english has been improved.""
Rewriting_medium: ""The readability and structure has been improved.""
Rewriting_heavy: ""The paragraph has been rewritten in a more well organized
and clear version, fitting the academic style.""
Concision: ""The generated revision is a shorter version that kept all the
important ideas.""
```

Prompt segment 7: LLM Likert System message without Gold

You are an evaluator of academic writing on the task of text revision. In this task, a **revision model** have been provided with the original paragraph written for a scientific article and a revision instruction on how to revise the paragraph. You will be given the proposition from the **revision model** and several **affirmations** to determine the quality of **this** proposition. **You will answer each affirmation with a grade (int) from 1 to 5 as following: 1 = Strongly disagree , 2 = Disagree , 3 = Neutral ,4 = Agree , 5 = Strongly agree**
In your answer please only provide the answers to the **affirmations**.

Prompt segment 8: LLM Likert User message without Gold

```
[BEGIN DATA]
***
[Original paragraph]: \"{original_paragraph}\"
***
[Revision instruction]: \"{instruction}\"
***
[Model proposed revision]: \"{model_generated_revised_paragraph}\"
***
[END DATA]
```

1. **Relatedness: The generated revision correctly addressed the instruction.**

2. **Correctness: The generated revision is better than original version in my opinion.**"""
<Additional category questions depending on the revision intention labels of the instance>

""For all questions, you do not need to explain the reason.

Your response must be RFC8259 compliant JSON following this schema:
{"1": str, "2": str , "3": str , "4": str , "5": str """
< "" "6": str "" and "" , "7": str "" can be added depending on the number of labels of the instance.>
""}]}

Figure 15: User message for prompting LLM Likert without Gold

Prompt segment 9: LLM Likert System message with Gold

You are an evaluator of academic writing on the task of text revision. In this task, a revision model have been provided with the original paragraph written for a scientific article and a revision instruction on how to revise the paragraph. You will be given the proposition from the revision model and several affirmations to determine the quality of this proposition. You will answer each affirmation with a grade (int) from 1 to 5 as following: 1 = Strongly disagree , 2 = Disagree , 3 = Neutral ,4 = Agree , 5 = Strongly agree
To help you in this task you will also be given the gold paragraph which is the version revised by the author themselves.
In your answer please only provide the answers to the affirmations.

Prompt segment 10: LLM Likert User message with Gold

```
[BEGIN DATA]
***
[Original paragraph]: \"{original_paragraph}\"
***
[Revision instruction]: \"{instruction}\"
***
[Model proposed revision]: \"{model_generated_revised_paragraph}\"
***
[Gold revised paragraph]: \"{gold}\"
***
[END DATA]

1. Gold similarity: The generated revision is similar to gold revision.

2. Relatedness: The generated revision correctly addressed the instruction.

3. Correctness: The generated revision is better than original version in my opinion. """
<Additional category questions depending on the revision intention labels of the instance>

"""For all questions, you do not need to explain the reason.

Your response must be RFC8259 compliant JSON following this schema:
{"1": str, "2": str, "3": str, "4": str, "5": str """"
< """" "6": str """" and """" , "7": str """" can be added depending on the number of labels of the instance.>
"""}]
```

Figure 16: User message for prompting LLM Likert with Gold

F Bias of LLM Models on their own Revisions

As we used several LLM for revision that we reused as judges, we check in Table 6 if they are biased towards their own proposition. We don't observe such bias, and even notice that results tend to be consistent across judge models. However, as they all tend to favour Mistral 7B we also computed the average edit distance between the original and generated revised texts for all revision models. As Mistral has the highest average, this could indicate an opposite bias as the one conveyed in similarity metrics: LLM-as-a-judge approaches tend to favour propositions with more important revisions.

Judge./Revision model→	CoEdit	Mistral 7B	Llama 3 8B	Llama 3 70B	GPT-4o mini	GPT 4o
Human	3.29	42.83	46.12	<u>53.68</u>	52.13	58.33
Mistral 7B Choice	21.58	60.92	<u>56.20</u>	55.17	50.65	52.65
Llama 3 8B Choice	3.94	64.66	58.98	<u>62.02</u>	58.08	52.07
Llama 3 70B Choice	1.49	73.00	<u>61.76</u>	59.23	46.06	48.13
GPT-4o mini Choice	1.81	66.86	<u>58.53</u>	57.30	47.61	48.90
GPT-4o Choice	1.94	<u>59.30</u>	58.91	62.98	50.19	52.52
Mistral 7B Gold Choice	23.64	54.65	<u>56.33</u>	56.52	51.16	54.07
Llama 3 8B Gold Choice	14.67	51.62	<u>59.24</u>	60.06	53.68	50.74
Llama 3 70B Gold Choice	1.49	64.47	58.85	<u>61.95</u>	51.10	48.19
GPT-4o mini Gold Choice	2.00	62.73	58.08	<u>59.50</u>	51.61	51.16
GPT-4o Gold Choice	2.33	50.19	52.91	62.98	<u>54.07</u>	52.91
Mistral 7B Likert	5.04	<u>25.65</u>	24.55	23.84	25.97	23.25
Llama 3 8B Likert	6.98	38.11	39.99	36.24	<u>38.56</u>	36.05
Llama 3 70B Likert	2.26	40.38	<u>37.40</u>	32.69	29.20	30.10
GPT-4o mini Likert	1.87	36.95	<u>33.85</u>	31.98	31.52	29.39
GPT-4o Likert	1.36	41.28	<u>47.87</u>	49.61	47.67	46.90
Mistral 7B Likert Gold	11.24	18.41	17.89	<u>19.64</u>	19.05	19.77
Llama 3 8B Likert Gold	10.92	46.25	41.15	<u>42.96</u>	42.18	39.60
Llama 3 70B Likert Gold	2.45	<u>46.19</u>	47.22	44.51	39.28	38.76
GPT-4o mini Likert Gold	2.58	44.06	43.99	<u>45.41</u>	46.51	44.19
GPT-4o Likert Gold	3.88	42.25	<u>49.22</u>	<u>49.22</u>	48.45	51.16
ParaPLUIE Mistral	17.83	72.48	<u>56.20</u>	52.91	47.67	50.39
ParaPLUIE Llama3 8B	20.35	70.74	52.33	<u>54.84</u>	52.33	46.90
Edit distance (Original-Generated)	190.82	342.69	<u>270.47</u>	234.95	175.02	197.36

Table 6: Distribution of extended strict preference of each LLM judge by revision model

G Distribution of Extended Preference of each LLM Judge

See Table 7.

Judge↓/Choice→	Tie	A	B
Human	14.53	44.25	41.21
Mistral 7B Choice	0.95	82.43	16.63
Llama 3 8B Choice	0.08	53.92	46.00
Llama 3 70B Choice	03.45	52.97	43.58
GPT-4o mini Choice	06.33	39.28	54.39
GPT-4o Choice	04.72	53.62	41.67
Mistral 7B Gold Choice	01.21	77.76	21.04
Llama 3 8B Gold Choice	03.33	23.79	72.85
Llama 3 70B Gold Choice	04.65	51.14	44.21
GPT-4o mini Gold Choice	4.98	39.27	55.75
GPT-4o Gold Choice	08.21	49.94	41.86
Mistral 7B Likert	57.24	22.37	20.39
Llama 3 8B Likert	34.69	34.28	31.03
Llama 3 70B Likert	42.66	28.71	28.64
GPT-4o mini Likert	44.81	27.99	27.2
GPT-4o Likert	21.77	39.02	39.21
Mistral 7B Likert Gold	64.66	17.29	18.05
Llama 3 8B Likert Gold	25.65	38.20	36.16
Llama 3 70B Likert Gold	27.20	35.44	37.36
GPT-4o mini Likert Gold	24.42	37.96	37.62
GPT-4o Likert Gold	18.60	41.54	39.86

Table 7: Distribution of extended preference of each LLM judge

H Distribution on Relatedness and Correctness for LLM-as-a-Judge Approaches

See Table 8

Model	Relatedness Strict Acc.	Relatedness Soft Acc.	Correctness Acc.
gpt-4o	67.03	84.69	<u>76.78</u>
gpt-4o-gold	62.99	84.66	76.94
gpt-4o-mini	62.26	85.30	76.04
gpt-4o-mini-gold	58.95	<u>85.14</u>	75.91
llama3-70b	<u>66.66</u>	82.11	75.96
llama3-70b-gold	66.48	82.37	76.10
llama3-8b	45.41	80.16	72.30
llama3-8b-gold	40.55	77.70	61.93
mistral-gold	58.78	75.19	62.37
mistral	58.98	75.27	62.58

Table 8: Accuracy of LLM-Choice on the preliminary Relatedness and Correctness questions. For relatedness, in soft accuracy, we merge "Yes strictly" and "Yes with additional modifications" categories.

I Alignment of all Metrics

See Figures 17 and 18

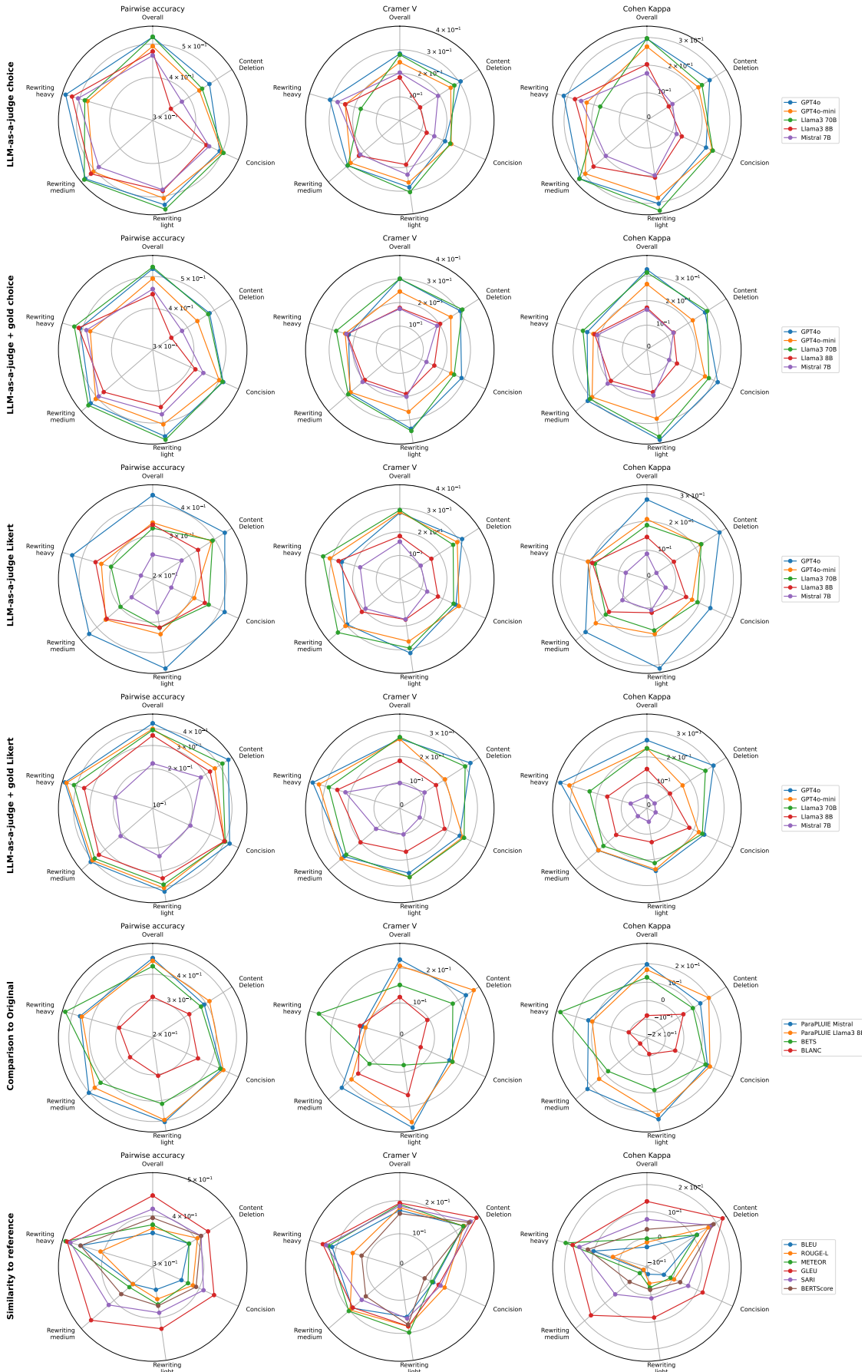


Figure 17: Alignment of metrics to human annotations by metric by type of metric and type of revision.

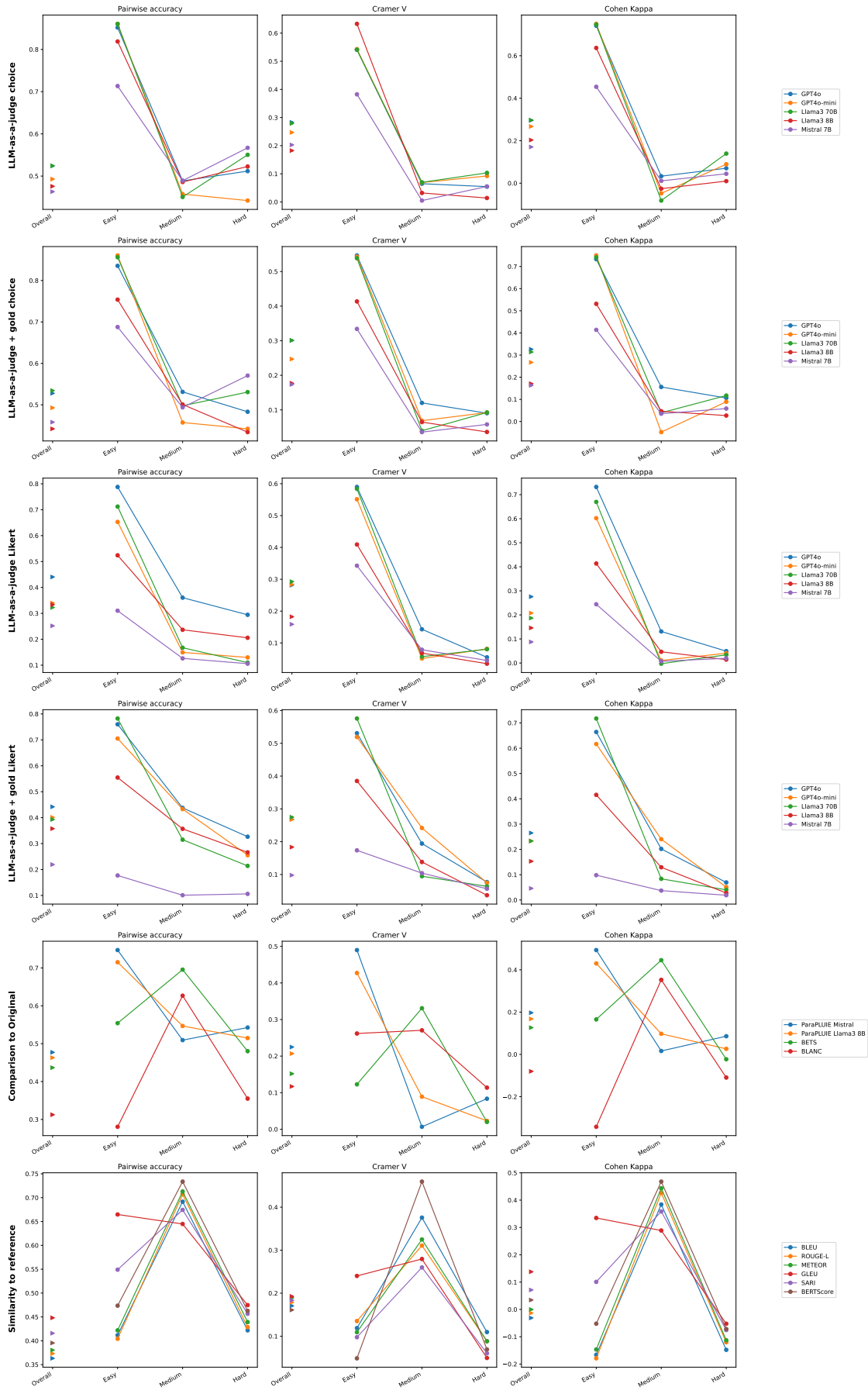


Figure 18: Alignment of metrics to human annotations by metric by types of difficulty

J Impact of using Gold References on the Alignment of LLM-as-a-Judge Approaches

See Figures 19 and 20.

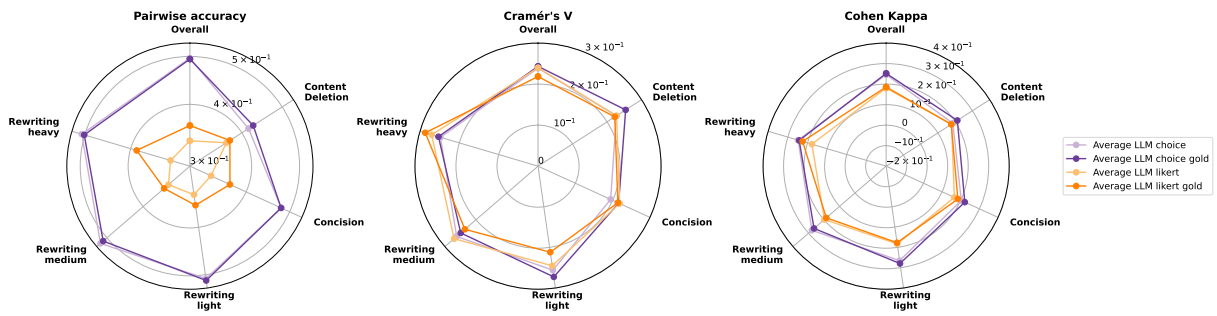


Figure 19: Alignment of LLM-as-a-judge approaches with human annotations by revision category

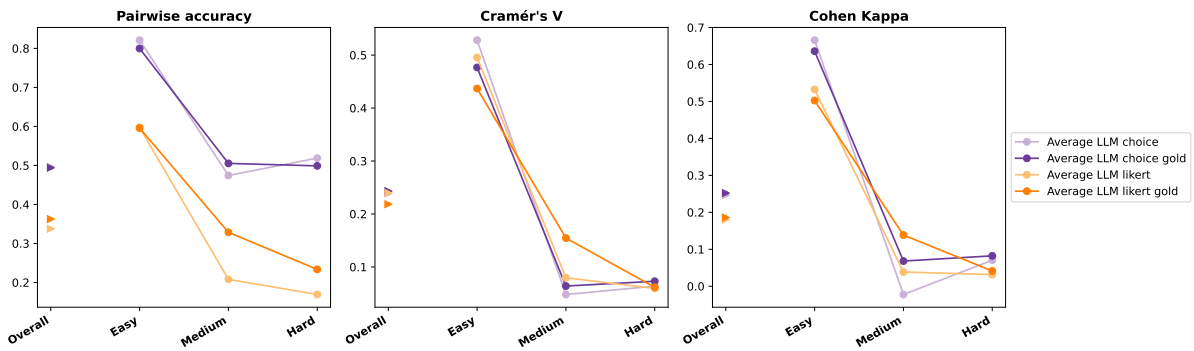


Figure 20: Alignment of LLM-as-a-judge approaches with human annotations, by difficulty. The triangles in the first column represent the agreement on the total dataset.

Identification de mesures d'évaluation fiables pour la révision de textes scientifiques

Léane Jourdan¹ Florian Boudin^{1,2} Nicolas Hernandez¹ Richard Dufour¹

(1) Nantes Université, École Centrale Nantes, CNRS, LS2N, UMR 6004, F-44000 Nantes, France

(2) JFLI, CNRS, Nantes University, France

{prénom}.{nom}@univ-nantes.fr

RÉSUMÉ

L'évaluation de la révision des textes scientifiques reste un défi, car les métriques traditionnelles telles que ROUGE et BERTScore se concentrent sur la similarité à une référence plutôt que sur les améliorations réalisées. Nous analysons et identifions les limites de ces métriques et explorons des méthodes d'évaluation alternatives qui s'alignent mieux sur le jugement humain. Nous évaluons d'abord manuellement différentes révisions pour estimer leur qualité. Ensuite, nous examinons la possibilité d'utiliser des métriques d'évaluation sans référence provenant de domaines connexes du traitement automatique des langues (TAL) ainsi que des approches GML en tant que juge. Nos résultats montrent que GMLs évaluent efficacement le suivi des instructions mais peinent à évaluer l'acceptabilité, alors que les métriques spécifiques au domaine fournissent des informations complémentaires. Nous recommandons une approche hybride combinant l'évaluation GML en tant que juge et les mesures spécifiques à la tâche offrant l'évaluation la plus fiable de la qualité de la révision.

ABSTRACT

Identifying Reliable Evaluation Metrics for Scientific Text Revision

Evaluating text revision in scientific writing remains a challenge, as traditional metrics such as ROUGE and BERTScore primarily focus on similarity rather than capturing meaningful improvements. In this work, we analyse and identify the limitations of these metrics and explore alternative evaluation methods that better align with human judgments. We first conduct a manual annotation study to assess the quality of different revisions. Then, we investigate reference-free evaluation metrics from related NLP domains and LLM-as-a-judge approaches. Our results show that LLMs effectively assess instruction-following but struggle with correctness, while domain-specific metrics provide complementary insights. We find that a hybrid approach combining LLM-as-a-judge evaluation and task-specific metrics offers the most reliable assessment of revision quality.

MOTS-CLÉS : révision de texte, article scientifique, évaluation, métriques.

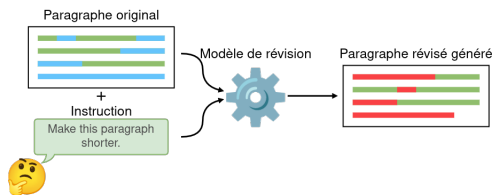
KEYWORDS: text revision, scientific article, evaluation, metrics.

ARTICLE : **Accepté à ACL 2025.**

1 Introduction

La révision est une étape essentielle de la rédaction scientifique, car elle garantit la clarté, la cohérence et le respect des normes académiques. Le processus d'écriture se compose généralement de quatre étapes : 1) la pré-écriture, 2) le brouillon, 3) la révision et 4) l'édi-

tion (Jourdan *et al.*, 2023). L'étape de la révision implique des modifications substantielles pour améliorer la lisibilité, le style et la formalité (Du *et al.*, 2022; Li *et al.*, 2022). Cette étape est cruciale, car une rédaction de mauvaise qualité brouille la compréhension des résultats de recherche et augmente le risque de rejet d'un article (Amano *et al.*, 2023).



Comme l'illustre la Figure 1, la tâche de révision prend en entrée un paragraphe original et une instruction spécifiant la modification requise. Le résultat attendu est un paragraphe révisé s'alignant sur l'instruction donnée. Compte tenu de l'importance de cette tâche, il est crucial de pouvoir l'évaluer de façon fiable.

FIGURE 1 – Aperçu de la tâche de révision

Comme pour les autres tâches de génération de texte, la révision de texte est évaluée grâce à des métriques bien établies telles que ROUGE (Lin, 2004) ou BERTScore (Zhang *et al.*, 2020). Bien que les métriques basées sur les plongements (e.g. BERTScore) capturent en partie la similarité sémantique, elles restent centrées sur le chevauchement lexical et les caractéristiques de surface, plutôt que sur des aspects plus profonds de la qualité du texte.

Dans le cadre de la révision de texte, les métriques de similarité seules échouent à pleinement capturer la qualité de la révision. Au-delà de la similarité à un texte de référence, l'évaluation de la révision requiert de considérer les améliorations par rapport au texte original, la préservation du sens et le respect de l'instruction. Plusieurs études se sont reposées sur l'évaluation humaine pour évaluer les systèmes de révision (Du *et al.*, 2022; Raheja *et al.*, 2023, 2024; Ito *et al.*, 2020; Schick *et al.*, 2023), mais celle-ci apparaît coûteuse et chronophage, la rendant impraticable pour l'évaluation à grande échelle. Face à cette limitation, nous explorons différentes approches d'évaluation automatiques capables d'estimer la qualité des révisions tout en passant à l'échelle.

La révision de texte englobant diverses sous-tâches (e.g. paraphrase, résumé, simplification, transfert de style, correction grammaticale) (Li *et al.*, 2022; Raheja *et al.*, 2024; Ito *et al.*, 2019; Kim *et al.*, 2022), nous explorons tout d'abord les métriques sans référence communément utilisées pour évaluer ces tâches. Ainsi, ces métriques comparent directement les textes originaux et révisés au lieu de se reposer sur la référence. De plus, nous explorons différentes approches par grands modèles de langue (*Large Language Models*; GMLs) en tant que juge (LLM-as-a-judge en anglais, et abrégé en GML-juge dans cet article), celles-ci pouvant considérer l'instruction de révision. Avec la croissance rapide des GMLs, ces approches connaissent une utilisation croissante pour l'évaluation de diverses tâches (Gu *et al.*, 2024). Toutefois, des études ont montré que les GMLs rencontrent des pertes de performances quand la référence n'est pas fournie et sont parfois surpassés par des méthodes plus simples et moins coûteuses, les rendant moins attrayants (Doostmohammadi *et al.*, 2024; Mita *et al.*, 2024). Dans cet article, nous cherchons à savoir si ces résultats se généralisent à notre tâche et à connaître l'impact de fournir ou non la référence. Nos contributions sont les suivantes :

- Nous introduisons ParaReval, un jeu de données de préférences humaines sur des paires de révisions générées.¹
- Nous montrons que les métriques traditionnelles échouent à évaluer la révision de texte avec exactitude.
- Nous montrons que GML-juge peut efficacement estimer le suivi de l'instruction sans avoir besoin de la référence.
- Nous montrons que les métriques de similarité sont complémentaires des approches GML-juge

1. <https://github.com/JourdanL/parareval>

pour faire face aux cas difficiles à juger.

- Bien que GML-juge offre les meilleures performances, nous montrons que la métrique ParaPLUIE (Lemesle *et al.*, 2025) est une alternative moins coûteuse pour mesurer la préservation du sens.

2 État de l’art

Dans cette section, nous classons les approches d’évaluation en trois catégories : les métriques de similarité des n-grammes, celles de similarité basées sur les plongements et les méthodes GML-juge.

Métriques de similarité des n-grammes Les métriques basées sur la similarité au niveau des n-grammes sont couramment utilisées pour évaluer les tâches de génération de texte dont la révision fait partie. Ces métriques mesurent le chevauchement lexical entre le texte généré et la référence. Cependant, elles ne peuvent pas capturer l’équivalence sémantique ou l’amélioration par rapport au texte original. Les plus fréquemment utilisées sont :

- **BLEU** (Papineni *et al.*, 2002) : Métrique de traduction automatique, utilisée par (Du *et al.*, 2022; Raheja *et al.*, 2024; Jourdan *et al.*, 2024; Dwivedi-Yu *et al.*, 2024; Mücke *et al.*, 2023).
- **ROUGE-L** (Lin, 2004) : Métrique de résumé automatique, utilisée par (Du *et al.*, 2022; Jourdan *et al.*, 2024, 2025; Dwivedi-Yu *et al.*, 2024).
- **METEOR** (Banerjee & Lavie, 2005) : Métrique de correspondance des unigrammes pour la traduction automatique, moins sensible à la paraphrase que BLEU, utilisée par Mücke *et al.* (2023).
- **GLEU** (Napoles *et al.*, 2015) : Variante de BLEU adaptée à la correction grammaticale, utilisée par (Dwivedi-Yu *et al.*, 2024; Raheja *et al.*, 2023). Elle récompense les modifications et zones inchangées correctes et pénalise les modifications grammaticalement incorrectes.
- **SARI** (Xu *et al.*, 2016) : Métrique de simplification de texte, utilisée par (Du *et al.*, 2022; Raheja *et al.*, 2023, 2024; Jourdan *et al.*, 2024, 2025; Dwivedi-Yu *et al.*, 2024). Elle récompense les ajouts, suppressions et conservations de n-grammes corrects.

SARI et GLEU sont les seules métriques qui considèrent la source, ce qui est essentiel pour observer les améliorations apportées par la révision. Bien que les métriques n-grammes offrent l’avantage de l’interprétabilité, elles sont en difficulté pour les tâches nécessitant une compréhension sémantique plus profonde, comme mesurer le suivi de l’instruction ou l’amélioration par rapport au texte original.

Métriques de similarité des plongements Les métriques basées sur les plongements sont conçues pour capturer la similarité sémantique au-delà du chevauchement lexical. Ces méthodes comparent les plongements du texte généré et de référence pour estimer leur alignement. Pour la révision, seul **BERTScore** a été utilisé (Mücke *et al.*, 2023; Jourdan *et al.*, 2024).

Approches GML-Juge Des travaux récents ont exploré l’utilisation des GML-juges pour évaluer les tâches de génération au-delà de la similarité de surface. Ces approches traitent l’évaluation comme une tâche de jugement, où un GML évalue le texte généré sur la base de multiples critères. Plusieurs taxonomies ont été proposées : Gu *et al.* (2024) propose quatre catégories : *Scores*, *Oui ou Non*, *Paires* et *Choix Multiples*. Zheng *et al.* (2023) propose trois catégories : *comparaison par paires*, *notation d’une seule réponse* et *notation guidée par une référence*.

De plus, Doostmohammadi *et al.* (2024) proposent d’évaluer le texte généré selon trois dimensions : *naturalité* (Est-ce que la génération sonne naturelle et fluide ?), *suivi de l’instruction* (Est-ce que

la génération est liée à l’amorce (*prompt*) et est au format requis ?), et *acceptabilité* (Est-ce que la génération est correcte ?, dont la signification varie suivant la tâche). Pour l’évaluation de la révision de texte, [Mita et al. \(2024\)](#) proposent une évaluation de comparaison par paires et montrent que cette approche sous-performe comparativement à un classifieur BERT affiné.

Pour nos approches GML-juges, nous nous basons sur ces travaux et proposons des combinaisons des trois approches de ([Zheng et al., 2023](#)).

3 Protocole expérimental

Afin d’examiner les limites des métriques de similarité traditionnelles, nous générons d’abord de multiples versions révisées en utilisant différents GMLs et nous les évaluons manuellement.

Jeu de données Nous utilisons la partie d’évaluation du jeu de données ParaRev ([Jourdan et al., 2025](#)) qui contient 258 paires de paragraphes révisées extraites d’articles scientifiques. Chaque paire est annotée avec deux instructions de révisions différentes, ce qui donne un total de 516 révisions à effectuer par modèle. De plus, chaque paragraphe est étiqueté avec son type d’intention de révision, ce qui sera utilisé dans nos analyses (i.e., `Rewriting+{Light, Medium, Heavy}`, `Concision`, `Content Deletion`). La taxonomie complète est disponible en Annexe A.

Modèles de révision Afin de s’assurer de la diversité en termes de qualité de l’ensemble des révisions, des paragraphes révisés sont générés pour chaque paire de *paragraphe original + instruction* en utilisant 6 modèles différents. Les modèles utilisés sont : **CoEdit-XL**, un modèle T5 affiné pour la tâche de révision de phrases ([Raheja et al., 2023](#)), les GMLs semi-ouverts **Llama 3 8B Instruct**, **Llama 3 70B Instruct** et **Mistral 7B Instruct v0.2** et enfin les GMLs fermés **GPT 4o mini** et **GPT 4o**. Les amorces utilisées sont disponibles en Annexe B.

Tâche d’annotation Dans l’objectif d’identifier les métriques qui reflètent au mieux la qualité réelle des révisions, nous les annotons manuellement et comparons ce jugement humain aux scores automatiques. Pour cela, nous créons une tâche d’annotation où l’on compare une paire de révisions candidates et on émet une préférence.

L’annotation a été menée avec l’aide de 10 annotateurs-rices : 3 professeurs et 7 doctorants-tes, non-natifs-ves de l’anglais mais ayant de l’expérience dans la lecture et l’écriture d’articles scientifiques. Chaque instance d’annotation consiste en une paire de suggestions de révision pour un paragraphe donné, accompagnée de l’instruction de révision correspondante. Les annotateurs-rices répondent à une série de questions pour estimer la qualité des révisions :

- Q1A et Q1B **Suivi de l’instruction** : *Did model A/B address the instruction? {Yes strictly, Yes with additional modifications, No}*
- If it was your article and your instruction :
 - Q2 **Acceptabilité** : *Which revisions would you consider acceptable? {Both, A, B, None}*
 - Q3 **Préférence** : *Which revision would you prefer to include in your paper? {Both, A, B, None}*

Les questions spécifiques au type de révision et une capture d’écran de l’environnement d’annotation sont disponibles en Annexe C. Pour garantir une évaluation équitable, nous avons équilibré les comparaisons par paire entre les modèles, en veillant à ce que chaque modèle soit comparé aux autres un nombre similaire de fois.

Résultats de la phase d’annotation

À partir du jeu d’évaluation de ParaRev, 1 548 paires de paragraphes révisés ont été générées pour l’annotation. Parmi elles, 129 paires (8.33%) sont annotées en double pour mesurer l’accord inter-annotateurs-rices. Ces scores d’accord (Cohen’s Kappa κ) sont rapportés dans l’Annexe 1.

Dans le cadre de notre analyse, notre objectif étant d’étudier la capacité des métriques à identifier la meilleure révision parmi deux propositions, nous introduisons la notion de Préférence Étendue. Même si *None* est sélectionné lors de l’annotation pour la question de Préférence, une proposition est tout de même considérée préférable si elle est la seule à être *Acceptable* ou à *suivre l’instruction*. Nous considérons les *Both* et *None* restants comme des *ex æquo*.

La Figure 2 présente la distribution des préférences humaines à travers les modèles. Sur la base de l’annotation humaine, GPT-4o émerge comme étant le meilleur modèle de révision, étant strictement favorisé dans 58.33% des comparaisons. Llama 3 70B obtient aussi de bonnes performances, avec un taux de préférence à 53.68%. Lorsque l’on compare ces modèles deux à deux, Llama 3 70B ressort comme étant à égalité avec GPT-4o. Pour plus de détails, on rapporte la préférence des modèles deux à deux en Annexe D.

4 Limites des métriques basées sur la similarité

Dans cette section, nous évaluons les révisions générées et étudions les faiblesses des métriques basées sur la similarité.

Performances des modèles de révision avec les métriques basées sur la similarité

Afin de déterminer le meilleur modèle de révision, nous évaluons chaque révision générée en utilisant les métriques de similarité traditionnelles en les comparant à une référence. De plus, nous comparons les scores de ces modèles avec CopieEntrée, une approche de contrôle qui recopie l’entrée sans y ajouter de modifications. Les résultats sont présentés dans la Table 2. Toutes les métriques, excepté GLEU, considèrent CopieEntrée comme la meilleure approche, et CoEdIT-XL comme étant un concurrent sérieux. Cependant, après avoir manuellement analysé les résultats, nous remarquons que CoEdIT-XL tend à effectuer des révisions minimales telles que corriger la grammaire et l’orthographe, ou, à l’opposé, supprime de manière excessive une partie du paragraphe. Cela suggère que ces métriques favorisent le fait de ne pas effectuer de changement au lieu de récompenser des révisions plus profondes, et impactantes.

Question	κ	Accord
Suivi de l’instruction	0.54	Modéré
Acceptabilité	0.55	Modéré
Préférence	0.33	Moyen
Concision	0.22	Moyen
Rewriting light	0.41	Modéré
Rewriting medium	0.48	Modéré

TABLE 1 – Kappa de Cohen (κ) pour chaque question.

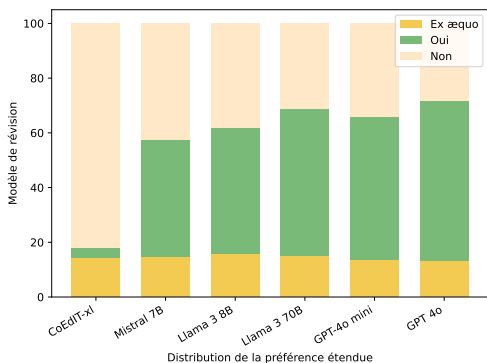


FIGURE 2 – Distribution de la préférence étendue humaine pour chaque modèle de révision. La zone verte correspond aux cas où le modèle est préféré.

Modèle de révision	BLEU	ROUGE-L	METEOR	GLEU	SARI	Bertscore	BLANC	BETS	ParaPLUIE
CopieEntrée réf.	66.00	78.30	83.80	25.78	60.63	95.95	<i>55.21</i>	<i>2.461</i>	<i>20.93</i>
CoEdIT-XL	50.24	67.46	66.66	23.84	39.60	93.90	58.96	1.554	19.35
Mistral-7B	27.77	50.79	54.02	15.38	31.63	92.14	41.59	<u>2.491</u>	23.02
Llama-3-8B	41.66	62.07	62.00	25.78	39.33	93.53	49.09	2.364	22.67
Llama-3-70B	46.78	65.61	67.20	30.31	42.74	93.90	52.27	2.386	22.58
GPT4o-mini	<u>51.68</u>	69.54	<u>72.70</u>	32.67	<u>45.06</u>	<u>94.80</u>	<u>54.89</u>	2.497	22.74
GPT4o	49.34	68.20	69.88	<u>31.35</u>	43.54	94.45	53.62	2.454	<u>22.86</u>

TABLE 2 – Résultats initiaux sur la tâche de révision de paragraphes. Le score en **gras** est le plus haut et le score souligné est le deuxième plus haut.

Redondance et corrélation entre métriques

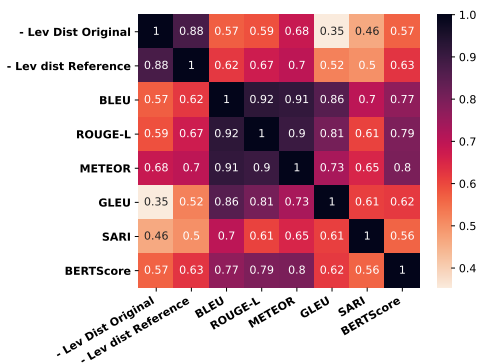


FIGURE 3 – Corrélation des métriques de similarité

Afin d’approfondir ce problème, nous analysons la corrélation entre différentes métriques ainsi que leur relation à la distance d’édition (distance de Levenshtein). Nous calculons la corrélation de Pearson entre toutes les métriques (voir Figure 3) et à la distance de Levenshtein négative. Nous observons que la majorité des métriques sont fortement corrélées, suggérant qu’elles fournissent des informations redondantes. La seule exception est SARI, qui diffère de la plupart des autres métriques, car elle considère le texte original, la révision générée et la référence. Ces résultats suggèrent que, bien qu’on utilise différentes métriques dans l’espoir de pouvoir étudier les révisions sous plusieurs angles, la majorité d’entre elles transmet en réalité la même information.

Sensibilité des métriques à la distance d’édition

Les deux premières colonnes de la Figure 3 montrent une forte corrélation entre les métriques de similarité et la distance d’édition, à la fois en relation aux paragraphes originaux et de référence. Cette relation est davantage illustrée dans l’Annexe E. Nous en tirons deux observations majeures :

- **Tout d’abord, les métriques capturent seulement la similarité de surface.** La forte corrélation avec la distance entre la référence et la révision générée suggère que les métriques traditionnelles reflètent principalement à quel point le modèle parvient à répliquer la révision de référence plutôt qu’évaluer la qualité de la révision elle-même. Même BERTScore, bien que basée sur des plongements et plus coûteuse à calculer, fournit en dernier lieu des informations similaires à des métriques plus simples basées sur la distance.
- **De plus, les révisions substantielles sont pénalisées.** La forte corrélation entre les métriques et la distance entre le texte original et généré indique que plus une révision dévie du paragraphe original, plus son score va être faible. Cela suggère que les métriques traditionnelles ne récompensent pas les changements substantiels et qualitatifs tels que la restructuration de phrases ou l’amélioration de la clarté. Au lieu de cela, elles encouragent des modifications plus conservatrices qui correspondent davantage à la référence.

Ce phénomène crée un biais d’évaluation majeur : les modèles qui produisent des modifications minimales vont recevoir un score haut tandis que les changements valides, mais différents, seront pénalisés. Dans la plupart des cas, ne faire aucune modification permet ainsi d’obtenir un score plus haut qu’en proposant des modifications plus conséquentes, comme le montre l’exemple dans

l'Annexe F. Parmi toutes les métriques, SARI et GLEU se démarquent en ayant une corrélation plus faible à la distance d'édition (≤ 0.52), puisqu'elles pénalisent de façon explicite le texte inchangé, encourageant ainsi la révision.

5 Exploration d'approches alternatives pour l'évaluation

Cette section vise à identifier les métriques d'évaluation les plus corrélées avec l'évaluation humaine de la qualité des textes révisés.

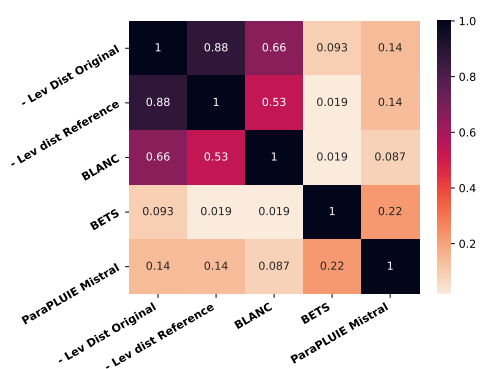
Métriques de domaines connexes du TAL

Nous émettons l'hypothèse que la comparaison au texte original est un facteur essentiel pour la révision de texte, les métriques qui calculent la similarité à une révision de référence tendant à négliger l'amélioration par rapport au texte original. SARI et GLEU sont largement utilisées dans la révision de texte, car elles considèrent à la fois les textes originaux et de référence.

De plus, la révision de texte comprend plusieurs sous-tâches en fonction du type de modifications menées. [Raheja et al. \(2024\)](#) a classifié les révisions en trois catégories principales : correction grammaticale, simplification, et paraphrase, en les évaluant avec des ensembles de métriques distincts. Cela suggère qu'une unique métrique peut ne pas être suffisante, étant donné qu'on n'essaie pas de capturer le même phénomène suivant le type de révision.

Nous explorons ainsi des métriques de domaines du TAL proches, en sélectionnant celles qui considèrent le texte original et s'alignent avec différents types de révision (e.g., résumé de texte pour la concision ou paraphrase pour les catégories de re-écriture). Nous identifions trois métriques candidates considérant le paragraphe original et la révision générée en entrée :

- **BETS** ([Zhao et al., 2023](#)) : Conçue pour la simplification de texte, estime la préservation du sens et la variation de la simplicité des paires de mots modifiées avec les plongements BERT.
- **BLANC** ([Vasilyev et al., 2020](#)) (variante BLANC-help) : Conçue pour le résumé automatique pour remplacer ROUGE. Elle mesure à quel point le résumé aide à la compréhension du texte à l'aide d'un BERT affiné.
- **ParaPLUIE** ([Lemesle et al., 2025](#)) : Conçue pour la détection de paraphrase, elle évalue si un texte B est une paraphrase d'un texte A. Elle prompt un Mistral 7B et utilise les scores de perplexité lorsque les réponses *Yes* et *No* sont suggérées au lieu du texte généré.



La Table 2 présente les résultats de l'évaluation à l'aide des trois métriques candidates, nous ajoutons également les résultats de la comparaison entre le paragraphe original et le paragraphe de référence. BETS et ParaPLUIE présentent un classement similaire des modèles et classent CoEdit-XL en dernière position comme l'annotation humaine. Au contraire, BLANC suit celui des métriques de similarité.

La figure 4 présente les corrélations entre ces nouvelles métriques et la distance de Levenshtein négative. À l'exception de BLANC, ces métriques présentent une faible corrélation avec la distance d'édition. En outre, l'Annexe E permet de visualiser ces relations de corrélation.

FIGURE 4 – Corrélation des métriques connexes

BETS et ParaPLUIE apparaissent comme des candidats prometteurs pour l'évaluation de la révision de texte, tandis que BLANC semble moins approprié. Nous étudions davantage leur alignement avec les annotations humaines pour confirmer leur efficacité dans les sections 5 et 6.

GML-Juges

Une hypothèse supplémentaire est que la révision du texte ne doit pas seulement tenir compte du texte original mais aussi évaluer la capacité du modèle à suivre les instructions de manière efficace. Nous explorons les approches GML-Juges pour évaluer ces deux aspects.

Nous expérimentons différentes approches pour le GML-Juge, basées sur le travail de [Doostmohammadi et al. \(2024\)](#), qui a utilisé GPT-4 en tant que juge pour évaluer trois critères clés dans le texte généré : 1) *naturalité*, 2) *suivi de l'instruction*, et 3) *acceptabilité*. Puisque notre tâche consiste à modifier un texte existant plutôt qu'à le générer à partir de zéro, *naturalité* n'est pas pertinent pour notre évaluation. Cependant, *suivi de l'instruction*, s'aligne sur Q1A et Q1B de notre annotation humaine et *acceptabilité* s'aligne directement sur Q2. Nous structurons notre amorce de manière similaire à la tâche d'annotation humaine afin d'évaluer ces deux aspects.

Nous explorons deux approches de [Gu et al. \(2024\)](#) pour les GML-Juges : *Scores (GML-Likert)* où on présente une seule révision à noter, et *Oui ou Non + Paires (GML-Choix)* où on présente une paire de révisions et le modèle choisit celle qu'il préfère ou déclare un ex æquo. Comme [Doostmohammadi et al. \(2024\)](#) montre une baisse des performances lorsque la référence n'est pas fournie, nous expérimentons ces deux approches avec et sans référence. Les amorces sont fournies en Annexe G.

Nos révisions candidates étant générées par différents GMLs, nous utilisons également différents GMLs comme juges afin de réduire les biais potentiels, où un modèle favoriserait ses propres révisions. En Annexe H, nous analysons les préférences de chaque juge et discutons de ce biais potentiel.

Rev. Model	GML-Choix		GML-Likert	
	base	+ réf	base	+ réf
CoEdit-XL	6.15	8.82	3.385	3.487
Mistral-7B	64.95	56.73	4.816	4.497
Llama-3-8B	58.88	<u>57.08</u>	<u>4.789</u>	4.472
Llama-3-70B	<u>59.34</u>	60.20	4.784	<u>4.479</u>
GPT4o-mini	50.52	52.33	4.750	4.447
GPT4o	50.85	51.41	4.743	4.443

TABLE 3 – Résultats sur la tâche de révision de paragraphe avec l'évaluation par les GML-Juges. Pour GML-choix, on rapporte la préférence étendue et pour GML-likert, la moyenne de tout les critères.

Pour chaque modèle excepté GPT-4o nous présentons des accords moyennés sur trois exécutions en raison des contraintes de coût. De plus, dans le corps principal de l'article, afin de présenter les résultats de manière plus concise, nous calculons la moyenne des modèles par approche.

Les résultats obtenus avec les approches GML-Juges sont présentés en Table 3. Toutes les approches s'accordent avec l'annotation humaine sur le fait que CoEdit-XL est le modèle de révision le moins performant et que Llama 3 70B est une bonne option pour cette tâche. Cependant, les scores des GML-likert sont très proches les uns des autres.

Résultats

Après avoir identifié les métriques candidates, nous évaluons leur alignement avec le jugement humain en utilisant trois mesures distinctes pour exprimer cet accord : le Kappa de Cohen (κ), le V de Cramér (V), et l'exactitude par paire pour tenir compte des ex æquo ([Deutsch et al., 2023](#)).

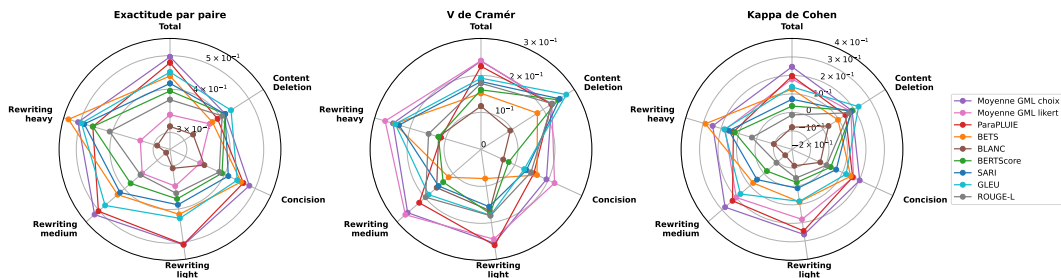


FIGURE 5 – Alignement des métriques automatiques avec les annotations humaines par catégorie de révision

La Table 4 présente l’alignement des méthodes d’évaluation automatique aux jugements humains, on ajoute également une approche aléatoire à titre de comparaison. BLEU, ROUGE et METEOR étant fortement corrélés, on garde uniquement les résultats de ROUGE-L dans le corps principal de l’article.

GML-Choix apparaît comme l’option la plus fiable, suivie par ParaPLUIE. GML-Likert et GLEU présentent également un fort alignement. Cependant, alors que GML-Likert atteint une plus grande précision lorsqu’une décision est prise, elle a tendance à surclasser les cas comme des ex æquo (voir l’Annexe I).

Nous conservons ici uniquement les approches GML-Juges sans référence mais nous étudions l’impact de la disponibilité de la référence sur l’alignement de ces approches en Annexe J.

Juge	Exact.	V	κ
Moy. GML Choix	0.496	<u>0.239</u>	0.247
Moy. GML likert	0.338	0.240	0.181
ParaPLUIE	<u>0.477</u>	0.225	<u>0.197</u>
BETS	0.437	0.152	0.127
BLANC	0.312	0.117	-0.080
BERTScore	0.395	0.161	0.034
SARI	0.416	0.184	0.071
GLEU	0.448	0.193	0.138
ROUGE-L	0.373	0.179	-0.013
<i>Aléatoire</i>	<i>0.264</i>	<i>0.027</i>	<i>-0.006</i>

TABLE 4 – Alignement des mesures automatiques sur les jugements humains pour l’ensemble des données. L’exactitude par paire et le V de Cramér sont définis sur $[0 : 1]$ et le Kappa de Cohen sur $[-1 : 1]$.

6 Performances par aspects

Dans cette section, on analyse les performances à une granularité plus fine sur deux aspects afin de voir si elles varient en fonction du type de révision ou de la difficulté à distinguer la meilleure révision.

Performance par catégorie de révision

Pour tester notre hypothèse de la section 5, nous analysons l’alignement des jugements humains et automatiques sur différents types de révision en utilisant les étiquettes annotées dans ParaRev (voir Figure 5). Pour la majorité des catégories, GML-Choix est l’approche la plus fiable. Cependant, dans les cas où le contenu du paragraphe est peu modifié (Rewriting Light ou Medium et Concision), ParaPLUIE semble être une bonne alternative pour capturer la préservation du sens, car elle est moins coûteuse que les approches GML-Juges. En effet, elle a traité notre jeu de données en 11 minutes seulement, contre 1 heure et 22 minutes pour Mistral 7B-Choix sur une GPU V100.

Pour Content Deletion, les métriques basées sur la similarité n -grammes telles que GLEU et

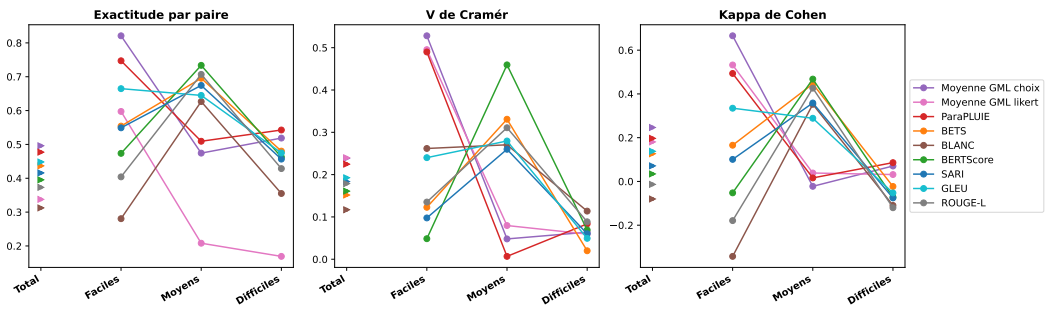


FIGURE 6 – Aligment des métriques automatiques avec les annotations humaines, par difficulté. Les triangles de la première colonne représentent l'accord sur l'ensemble des données de la Table 4

SARI offrent une alternative plus économique, s'alignant aussi bien voire mieux que GML-Choix avec les préférences humaines en tirant parti des informations de suppression basées sur les références.

Enfin, pour *Rewriting Heavy*, BETS surpasse les autres métriques et s'aligne mieux sur l'annotation humaine que dans les autres catégories de révisions. Dans cette catégorie, le sens du paragraphe doit rester le même, tout en faisant l'objet d'une restructuration en profondeur et d'une reformulation de la majeure partie du contenu. Dans le jeu de données, de nombreuses instructions associées à ces paragraphes visent à les rendre plus clairs, plus lisibles ou plus faciles à comprendre, ce qui peut être lié à la tâche de simplification du texte. BETS est un score équilibré entre la préservation du sens et la simplification du texte, ce qui explique probablement ses bonnes performances dans cette catégorie.

Performance par difficulté

Pour mieux évaluer l'efficacité des métriques, nous analysons les performances en fonction du niveau de difficulté de la paire, déterminé par l'annotation humaine :

- Cas Faciles (530 paires) : définis par Q1A et Q1B, un modèle a suivi l'instruction tandis que l'autre ne l'a pas fait.
- Cas Moyens (214 paires) : définis par Q2, les deux modèles ont suivi les instructions, mais un seul a produit une révision acceptable.
- Cas Difficiles (575 paires) : définis par Q3, les deux révisions sont acceptables, mais l'une d'entre elles est préférée.

Nous présentons l'alignement par difficulté dans la Figure 6. Nous observons que GML-Choix est le plus performant dans les cas Faciles, avec une exactitude de 0.821. Cela suggère que les GMLs sont particulièrement efficaces pour reconnaître si une révision suit l'instruction donnée, une capacité qu'aucune des autres métriques ne possède. Cependant, pour les cas Moyens, où les deux révisions sont conformes à l'instruction, les métriques basées sur la similarité surpassent les GMLs dans l'identification de la meilleure option. Nous supposons que ces métriques peuvent exploiter les informations de la référence pour évaluer la révision de manière plus efficace.

Pour les cas Difficiles, aucune des métriques ne donne de bons résultats, toutes les méthodes montrant une faible concordance avec les jugements humains, la tâche devenant encore plus subjective. Dans de telles situations, la préférence pour une révision plutôt qu'une autre peut dépendre largement du style d'écriture et de l'intention de l'auteur, ce qui rend l'évaluation automatique difficile. Cependant, ParaPLUIE semble être la meilleure option pour évaluer ces cas, en garantissant que le sens original du paragraphe est préservé pendant le processus de révision et en détectant d'éventuelles hallucinations.

Puisque les GMLs ont des difficultés avec l'évaluation de l'acceptabilité, nous analysons cet aspect dans l'Annexe [K](#), en corrélant les résultats avec les questions préliminaires d'annotation humaine. Une analyse complète de l'alignement est disponible dans l'annexe [L](#).

7 Discussion et conclusion

Dans cet article, nous avons identifié les métriques les plus fiables pour évaluer la révision de texte scientifique. L'identification de ces métriques pourra permettre meilleure connaissance des stratégies de révision de textes pour par évaluer les solutions existantes et mettre au point des modèles pour cette tâche.

Nos résultats suggèrent que les méthodes de GML-Juges évaluent efficacement si une révision suit l'instruction mais peinent à départager deux bons candidats et ont besoin d'être complétées par d'autres métriques. Les métriques de similarité traditionnelles, bien qu'elles ne soient pas conçues pour évaluer le respect de l'instruction, fournissent, par leur capacité à comparer les révisions à une référence, un mécanisme pour départager lorsque les GMLs ne parviennent pas à faire une distinction claire.

Cependant, les méthodes GML-Juges restent coûteuses en termes de calcul. Nous recommandons ainsi l'utilisation d'un ensemble complémentaire de métriques qui établit un équilibre entre le coût, l'interprétabilité et l'alignement avec le jugement humain. Ce sous-ensemble pourrait inclure un petit GML pour évaluer le suivi des instructions, ParaPLUIE pour la préservation du sens, et des mesures basées sur la similarité comme SARI et GLEU, qui exploitent les informations de la référence pour aider à départager les cas les plus difficiles.²

Remerciements

Nous remercions Anas Belfathi, Maël Houbre, Trung Hieu Ngo, Xavier Pillet, Mohamed Reda Marzouk and Thomas Sebbag pour leur participation à l'évaluation humaine.

Nous remercions Thomas Sebbag pour sa relecture du papier avant la soumission.

Ces travaux ont bénéficié d'un accès aux moyens de calcul de l'IDRIS au travers des allocations de ressources 2023-AD011013901R1, 2024-AD011013901R2 et 2024-AD011014882R1 attribuées par GENCI.

Références

AMANO T., RAMÍREZ-CASTAÑEDA V., BERDEJO-ESPINOLA V., BOROKINI I., CHOWDHURY S., GOLIVETS M., GONZÁLEZ-TRUJILLO J. D., MONTAÑO-CENTELLAS F., PAUDEL K., WHITE R. L. *et al.* (2023). The manifold costs of being a non-native english speaker in science. *PLoS Biology*, **21**(7), e3002184.

BANERJEE S. & LAVIE A. (2005). METEOR : An automatic metric for MT evaluation with improved correlation with human judgments. In J. GOLDSTEIN, A. LAVIE, C.-Y. LIN & C. VOSS,

2. Les sections limites et considérations éthiques présentes dans la version originale sont disponibles en Annexes [M](#) et [N](#).

Éds., *Proceedings of the ACL Workshop on Intrinsic and Extrinsic Evaluation Measures for Machine Translation and/or Summarization*, p. 65–72, Ann Arbor, Michigan : Association for Computational Linguistics.

BENAMARA F., HATOUT N., MULLER P. & OZDOWSKA S., Éd. (2007). *Actes de TALN 2007 (Traitement automatique des langues naturelles)*, Toulouse. ATALA, IRIT.

DEUTSCH D., FOSTER G. & FREITAG M. (2023). Ties matter : Meta-evaluating modern metrics with pairwise accuracy and tie calibration. In *Proceedings of the 2023 Conference on Empirical Methods in Natural Language Processing*, p. 12914–12929.

DIAS G., Éd. (2015). *Actes de TALN 2015 (Traitement automatique des langues naturelles)*, Caen. ATALA, HULTECH.

DOOSTMOHAMMADI E., HOLMSTRÖM O. & KUHLMANN M. (2024). How reliable are automatic evaluation methods for instruction-tuned LLMs? In Y. AL-ONAIZAN, M. BANSAL & Y.-N. CHEN, Éd., *Findings of the Association for Computational Linguistics : EMNLP 2024*, p. 6321–6336, Miami, Florida, USA : Association for Computational Linguistics.

DU W., KIM Z. M., RUNDERSTANDAHEJA V., KUMAR D. & KANG D. (2022). Read, revise, repeat : A system demonstration for human-in-the-loop iterative text revision. In *Proceedings of the First Workshop on Intelligent and Interactive Writing Assistants (In2Writing 2022)*, p. 96–108, Dublin, Ireland : Association for Computational Linguistics. DOI : [10.18653/v1/2022.in2writing-1.14](https://doi.org/10.18653/v1/2022.in2writing-1.14).

DWIVEDI-YU J., SCHICK T., JIANG Z., LOMELI M., LEWIS P., IZACARD G., GRAVE E., RIEDEL S. & PETRONI F. (2024). EditEval : An instruction-based benchmark for text improvements. In L. BARAK & M. ALIKHANI, Éd., *Proceedings of the 28th Conference on Computational Natural Language Learning*, p. 69–83, Miami, FL, USA : Association for Computational Linguistics. DOI : [10.18653/v1/2024.conll-1.7](https://doi.org/10.18653/v1/2024.conll-1.7).

GU J., JIANG X., SHI Z., TAN H., ZHAI X., XU C., LI W., SHEN Y., MA S., LIU H. *et al.* (2024). A survey on llm-as-a-judge. *arXiv preprint arXiv :2411.15594*.

ITO T., KURIBAYASHI T., HIDAKA M., SUZUKI J. & INUI K. (2020). Langsmith : An interactive academic text revision system. In Q. LIU & D. SCHLANGEN, Éd., *Proceedings of the 2020 Conference on Empirical Methods in Natural Language Processing : System Demonstrations*, p. 216–226, Online : Association for Computational Linguistics. DOI : [10.18653/v1/2020.emnlp-demos.28](https://doi.org/10.18653/v1/2020.emnlp-demos.28).

ITO T., KURIBAYASHI T., KOBAYASHI H., BRASSARD A., HAGIWARA M., SUZUKI J. & INUI K. (2019). Diamonds in the rough : Generating fluent sentences from early-stage drafts for academic writing assistance. In K. VAN DEEMTER, C. LIN & H. TAKAMURA, Éd., *Proceedings of the 12th International Conference on Natural Language Generation*, p. 40–53, Tokyo, Japan : Association for Computational Linguistics. DOI : [10.18653/v1/W19-8606](https://doi.org/10.18653/v1/W19-8606).

JOURDAN L., BOUDIN F., DUFOUR R. & HERNANDEZ N. (2023). Text revision in scientific writing assistance : An overview. In I. FROMMHOLZ, P. MAYR, G. CABANAC, S. VERBERNE & J. BRENNAN, Éd., *13th International Workshop on Bibliometric-enhanced Information Retrieval (BIR)*, volume 3617 de CEUR Workshop Proceedings, p. 22–36, Aachen.

JOURDAN L., BOUDIN F., DUFOUR R., HERNANDEZ N. & AIZAWA A. (2025). ParaRev : Building a dataset for scientific paragraph revision annotated with revision instruction. In M. ZOCC, K. INUI & Z. YUAN, Éd., *Proceedings of the First Workshop on Writing Aids at the Crossroads of AI, Cognitive Science and NLP (WRAICOGS 2025)*, p. 35–44, Abu Dhabi, UAE : International Committee on Computational Linguistics.

JOURDAN L., BOUDIN F., HERNANDEZ N. & DUFOUR R. (2024). CASIMIR : A corpus of scientific articles enhanced with multiple author-integrated revisions. In N. CALZOLARI, M.-Y. KAN, V. HOSTE, A. LENCI, S. SAKTI & N. XUE, Éd., *Proceedings of the 2024 Joint International Conference on Computational Linguistics, Language Resources and Evaluation (LREC-COLING 2024)*, p. 2883–2892, Torino, Italia : ELRA and ICCL.

KIM Z. M., DU W., RAHEJA V., KUMAR D. & KANG D. (2022). Improving iterative text revision by learning where to edit from other revision tasks. In Y. GOLDBERG, Z. KOZAREVA & Y. ZHANG, Édés., *Proceedings of the 2022 Conference on Empirical Methods in Natural Language Processing*, p. 9986–9999, Abu Dhabi, United Arab Emirates : Association for Computational Linguistics. DOI : [10.18653/v1/2022.emnlp-main.678](https://doi.org/10.18653/v1/2022.emnlp-main.678).

LAIGNELET M. & RIOULT F. (2009). Repérer automatiquement les segments obsolètes à l'aide d'indices sémantiques et discursifs. In A. NAZARENKO & T. POIBEAU, Édés., *Actes de TALN 2009 (Traitement automatique des langues naturelles)*, Senlis : ATALA LIPN.

LANGLAIS P. & PATRY A. (2007). Enrichissement d'un lexique bilingue par analogie. In (Benamara et al., 2007), p. 101–110.

LEMESLE Q., CHEVELU J., MARTIN P., LOLIVE D., DELHAY A. & BARBOT N. (2025). Paraphrase generation evaluation powered by an LLM : A semantic metric, not a lexical one. In O. RAMBOW, L. WANNER, M. APIDIANAKI, H. AL-KHALIFA, B. D. EUGENIO & S. SCHOCKAERT, Édés., *Proceedings of the 31st International Conference on Computational Linguistics*, p. 8057–8087, Abu Dhabi, UAE : Association for Computational Linguistics.

LI J., LI Z., GE T., KING I. & LYU M. (2022). Text revision by on-the-fly representation optimization. In T.-H. K. HUANG, V. RAHEJA, D. KANG, J. J. Y. CHUNG, D. GISSIN, M. LEE & K. I. GERO, Édés., *Proceedings of the First Workshop on Intelligent and Interactive Writing Assistants (In2Writing 2022)*, p. 58–59, Dublin, Ireland : Association for Computational Linguistics. DOI : [10.18653/v1/2022.in2writing-1.7](https://doi.org/10.18653/v1/2022.in2writing-1.7).

LIN C.-Y. (2004). ROUGE : A package for automatic evaluation of summaries. In *Text Summarization Branches Out*, p. 74–81, Barcelona, Spain : Association for Computational Linguistics.

MITA M., SAKAGUCHI K., HAGIWARA M., MIZUMOTO T., SUZUKI J. & INUI K. (2024). Towards automated document revision : Grammatical error correction, fluency edits, and beyond. In E. KOCHMAR, M. BEXTE, J. BURSTEIN, A. HORBACH, R. LAARMANN-QUANTE, A. TACK, V. YANEVA & Z. YUAN, Édés., *Proceedings of the 19th Workshop on Innovative Use of NLP for Building Educational Applications (BEA 2024)*, p. 251–265, Mexico City, Mexico : Association for Computational Linguistics.

MIZRAHI M., KAPLAN G., MALKIN D., DROR R., SHAHAF D. & STANOVSKY G. (2024). State of what art ? a call for multi-prompt LLM evaluation. *Transactions of the Association for Computational Linguistics*, **12**, 933–949. DOI : [10.1162/tacl_a_00681](https://doi.org/10.1162/tacl_a_00681).

MÜCKE J., WALDOW D., METZGER L., SCHAUF P., HOFFMAN M., LELL N. & SCHERP A. (2023). Fine-tuning language models for scientific writing support. In A. HOLZINGER, P. KIESEBERG, F. CABITZA, A. CAMPAGNER, A. M. TJOA & E. WEIPPL, Édés., *Machine Learning and Knowledge Extraction*, p. 301–318, Cham : Springer Nature Switzerland.

NAPOLES C., SAKAGUCHI K., POST M. & TETREAUULT J. (2015). Ground truth for grammatical error correction metrics. In *Proceedings of the 53rd Annual Meeting of the Association for Computational Linguistics and the 7th International Joint Conference on Natural Language Processing (Volume 2 : Short Papers)*, p. 588–593, Beijing, China : Association for Computational Linguistics.

PAPINENI K., ROUKOS S., WARD T. & ZHU W.-J. (2002). Bleu : a method for automatic evaluation of machine translation. In *Proceedings of the 40th Annual Meeting of the Association for Computational Linguistics*, p. 311–318, Philadelphia, Pennsylvania, USA : Association for Computational Linguistics. DOI : [10.3115/1073083.1073135](https://doi.org/10.3115/1073083.1073135).

RAHEJA V., ALIKANIOTIS D., KULKARNI V., ALHAFNI B. & KUMAR D. (2024). mEdIT : Multilingual text editing via instruction tuning. In K. DUH, H. GOMEZ & S. BETHARD, Édés., *Proceedings of the 2024 Conference of the North American Chapter of the Association for Computational Linguistics : Human Language Technologies (Volume 1 : Long Papers)*, p. 979–1001, Mexico City, Mexico : Association for Computational Linguistics. DOI : [10.18653/v1/2024.naacl-long.56](https://doi.org/10.18653/v1/2024.naacl-long.56).

RAHEJA V., KUMAR D., KOO R. & KANG D. (2023). CoEdIT : Text editing by task-specific instruction tuning. In H. BOUAMOR, J. PINO & K. BALI, Éds., *Findings of the Association for Computational Linguistics : EMNLP 2023*, p. 5274–5291, Singapore : Association for Computational Linguistics. DOI : [10.18653/v1/2023.findings-emnlp.350](https://doi.org/10.18653/v1/2023.findings-emnlp.350).

SCHICK T., YU J. A., JIANG Z., PETRONI F., LEWIS P., IZACARD G., YOU Q., NALMPANTIS C., GRAVE E. & RIEDEL S. (2023). PEER : A collaborative language model. In *The Eleventh International Conference on Learning Representations*.

SERETAN V. & WEHRLI E. (2007). Collocation translation based on sentence alignment and parsing. In (Benamara *et al.*, 2007), p. 401–410.

VASILYEV O., DHARNIDHARKA V. & BOHANNON J. (2020). Fill in the BLANC : Human-free quality estimation of document summaries. In S. EGER, Y. GAO, M. PEYRARD, W. ZHAO & E. HOVY, Éds., *Proceedings of the First Workshop on Evaluation and Comparison of NLP Systems*, p. 11–20, Online : Association for Computational Linguistics. DOI : [10.18653/v1/2020.eval4nlp-1.2](https://doi.org/10.18653/v1/2020.eval4nlp-1.2).

XU W., NAPOLES C., PAVLICK E., CHEN Q. & CALLISON-BURCH C. (2016). Optimizing statistical machine translation for text simplification. *Transactions of the Association for Computational Linguistics*, 4, 401–415. DOI : [10.1162/tacl_a_00107](https://doi.org/10.1162/tacl_a_00107).

ZHANG T., KISHORE V., WU F., WEINBERGER K. Q. & ARTZI Y. (2020). Bertscore : Evaluating text generation with bert. In *International Conference on Learning Representations*.

ZHAO X., DURMUS E. & YEUNG D.-Y. (2023). Towards reference-free text simplification evaluation with a BERT Siamese network architecture. In A. ROGERS, J. BOYD-GRABER & N. OKAZAKI, Éds., *Findings of the Association for Computational Linguistics : ACL 2023*, p. 13250–13264, Toronto, Canada : Association for Computational Linguistics. DOI : [10.18653/v1/2023.findings-acl.838](https://doi.org/10.18653/v1/2023.findings-acl.838).

ZHENG L., CHIANG W.-L., SHENG Y., ZHUANG S., WU Z., ZHUANG Y., LIN Z., LI Z., LI D., XING E. P., ZHANG H., GONZALEZ J. E. & STOICA I. (2023). Judging llm-as-a-judge with mt-bench and chatbot arena. In *Proceedings of the 37th International Conference on Neural Information Processing Systems*, NIPS '23, Red Hook, NY, USA : Curran Associates Inc.

A Taxonomie de ParaRev

Voir Table 5, seules les catégories présentes dans le jeu d'évaluation sont listées.

Type		Description
Rewriting	Light	Changements mineurs dans le choix des mots ou de la formulation.
	Medium	Reformulation complète de phrases.
	Heavy	Reformulation significative affectant au moins la moitié du paragraphe.
Concision		Même idée, formulée de façon plus concise en supprimant des détails non nécessaires.
Content	Deletion	Modification du contenu par la suppression d'une idée.

TABLE 5 – Taxonomie des catégories de au niveau du paragraphe.

B Amorce pour la révision de texte

Segment d'amorce 1 : Messages de l'amorce pour la révision de texte

```
system_message
= """You are a writing assistant specialised in academic writing.
Your task is to revise the
original paragraph from a research paper draft that will be given
according to the author's instruction. The input will follow the
pattern ' <author instruction> : "<Original paragraph>" '.
Please answer only by "Revised paragraph: <
revised version of the paragraph>". Please limit your modifications
only to what is requested in the author's instruction. Do
not make any other modifications to the rest of the paragraph."""
user_message= """{instruct} : \"{parag}\" """
```

C Environnement d'annotation et questions supplémentaires

Voir Figure 7 pour l'environnement d'annotation.

ssjKkM0b5y3wi5X8wrM_03	5Z20	
Categories	Instruction	
Rewriting_medium	Improve the English and the flow of this paragraph.	
Original_paragraph		Model A
Hyperparameter tuning: For our PHN method we select hyperparameters based on the HV computed on a validation set. Selecting hyperparameters for the baselines is non-trivial as there is no clear criteria that is reasonable in terms of runtime; in order to select hyperparameters based on HV, each approach needs to be trained multiple times on all rays. We therefore select hyperparameters based on a single ray, and apply those for all rays. Our selection criterion is as follows: we collect all models trained using all hyperparameter configurations, and filter out the dominated solutions. Finally, we select the combination of hyperparameters with the highest uniformity.		Hyperparameter tuning: For our PHN method, we select hyperparameters based on the HV computed on a validation set. Selecting hyperparameters for the baselines is non-trivial as there is no clear criterion that is reasonable in terms of runtime. To select hyperparameters based on HV, each approach would need to be trained multiple times on all rays. Therefore, we select hyperparameters based on a single ray and apply those to all rays. Our selection criterion is as follows: we collect all models trained using all hyperparameter configurations and filter out the dominated solutions. Finally, we select the combination of hyperparameters with the highest uniformity.
Original_paragraph		Model B
Hyperparameter tuning: For our PHN method we select hyperparameters based on the HV computed on a validation set. Selecting hyperparameters for the baselines is non-trivial as there is no clear criteria that is reasonable in terms of runtime; in order to select hyperparameters based on HV, each approach needs to be trained multiple times on all rays. We therefore select hyperparameters based on a single ray, and apply those for all rays. Our selection criterion is as follows: we collect all models trained using all hyperparameter configurations, and filter out the dominated solutions. Finally, we select the combination of hyperparameters with the highest uniformity.		Hyperparameter tuning: For our PHN method, we determine hyperparameters based on the Hypervolume (HV) computed on a validation set. However, selecting hyperparameters for the baselines is non-trivial, as there is no clear criteria regarding runtime. Since each approach requires multiple training iterations to select hyperparameters based on HV, we instead choose hyperparameters based on a single ray. Our hyperparameter selection criteria involves collecting all models produced using all configuration combinations and eliminating dominated solutions. The combination of hyperparameters displaying the highest uniformity is subsequently selected from the remaining solutions.
Did model A address the instruction?	Yes strictly	-
Did model B address the instruction?	Yes with additional modifications	-
If it was your article and your instruction:		
- Which revisions would you consider acceptable?	Both	-
- Which revision would you prefer to include in your paper?	B	-
Which model improve the readability and structure the most?	B	-

FIGURE 7 – Capture d'écran de l'environnement d'annotation

Les questions supplémentaires, spécifiques à chaque type de révision sont les suivantes, les réponses possibles pour chaque question sont $\{Both, A, B, None\}$:

- Rewriting light : *Which model improves the academic style and English the most ?* (Quel modèle améliore le plus le style académique et l'anglais ?)
- Rewriting medium : *Which model improves the readability and structure the most ?* (Quel modèle améliore le plus la lisibilité et la structure ?)
- Rewriting heavy : *Which model improves the readability and clarity the most ?* (Quel modèle améliore le plus la lisibilité et la clarté ?)
- Concision : *Which model manages the most to give a shorter version while keeping all the important ideas ?* (Quel modèle parvient au mieux à fournir une version plus courte tout en conservant les idées importantes ?)

D Préférences humaines des modèles de révision par paires

Voir Figure 8.

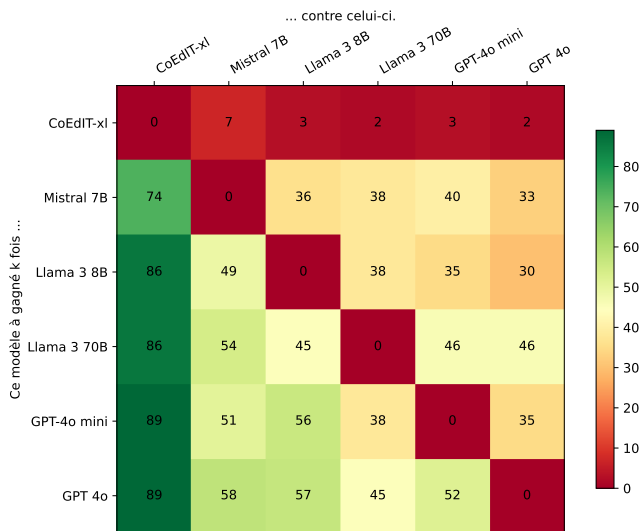


FIGURE 8 – Comparaison par paire des préférences humaines sur les modèles de révision.

E Relation entre les métriques et la distance de Levenshtein

Voir les Figures 9, 10, 11 and 12

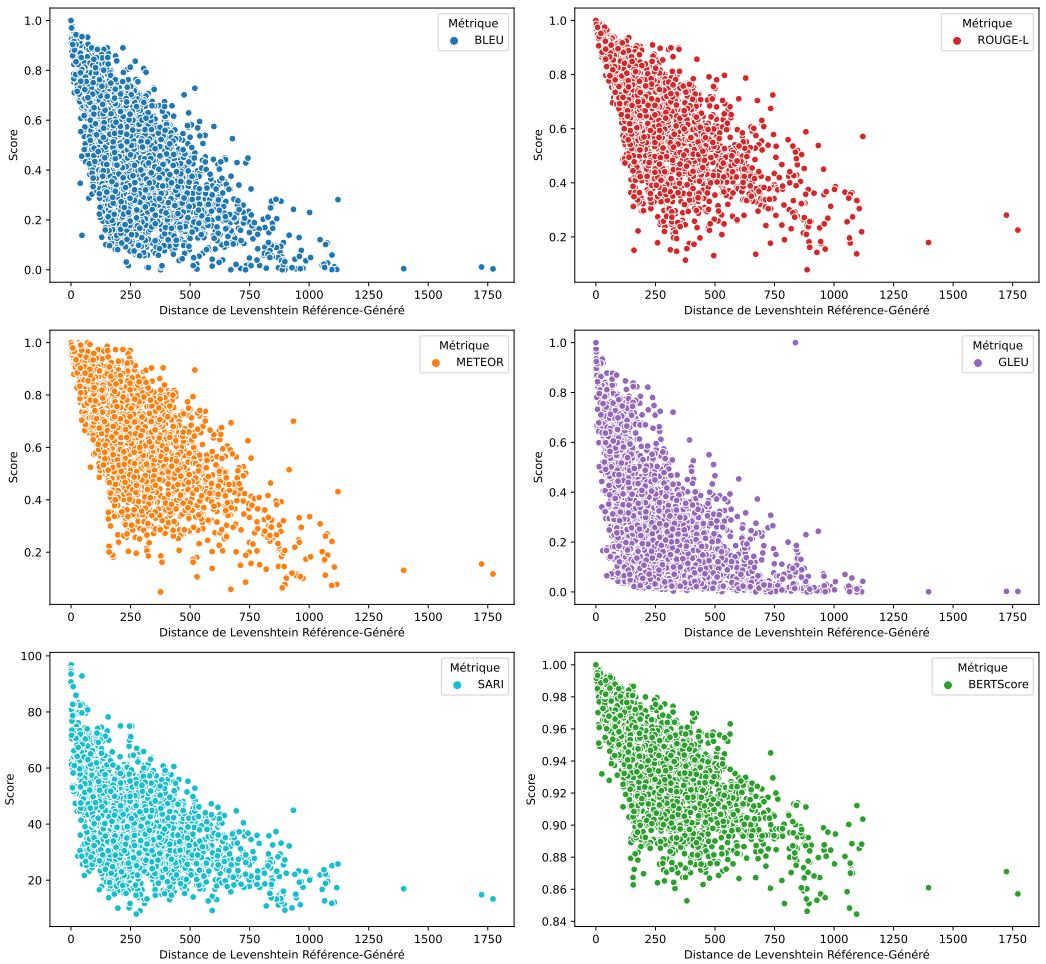


FIGURE 9 – Distribution des scores des métriques de similarité selon la distance de Levenshtein entre le paragraphe généré et de référence.

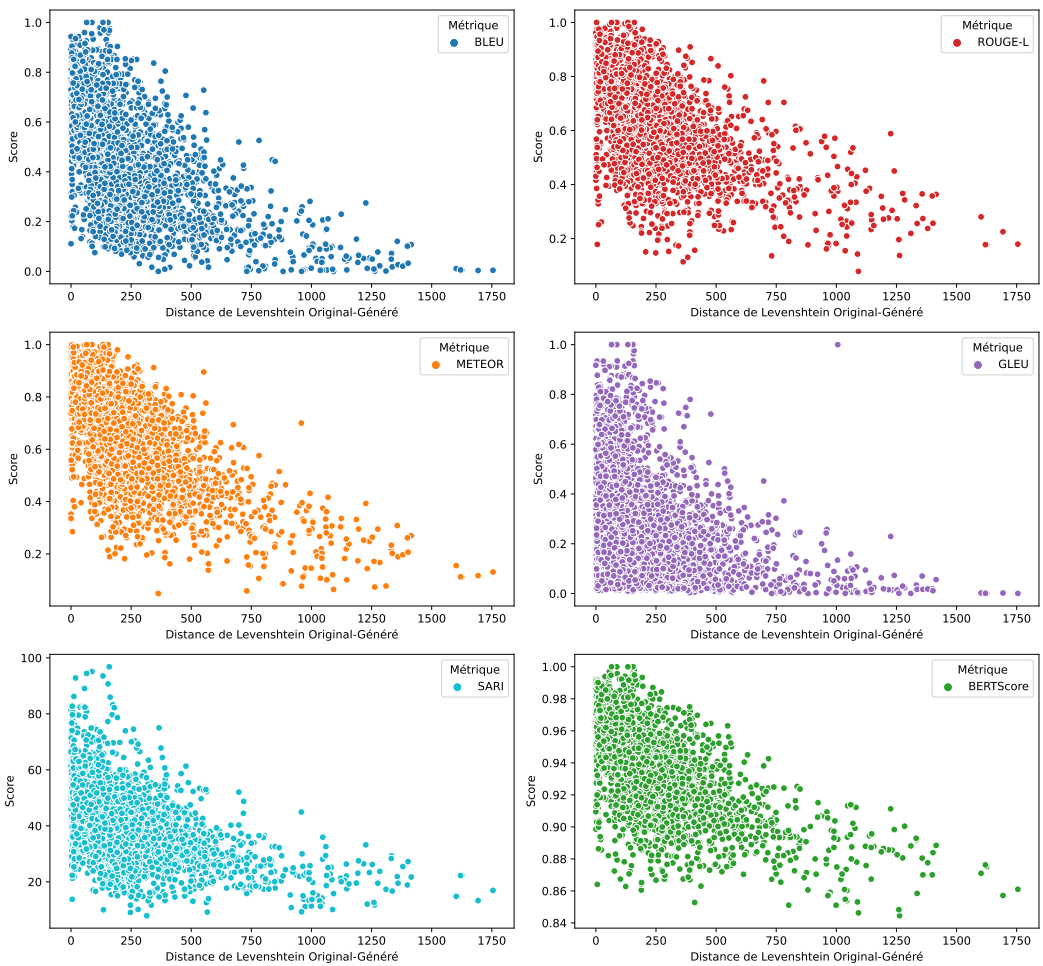


FIGURE 10 – Distribution des scores des métriques de similarité selon la distance de Levenshtein entre le paragraphe original et généré.

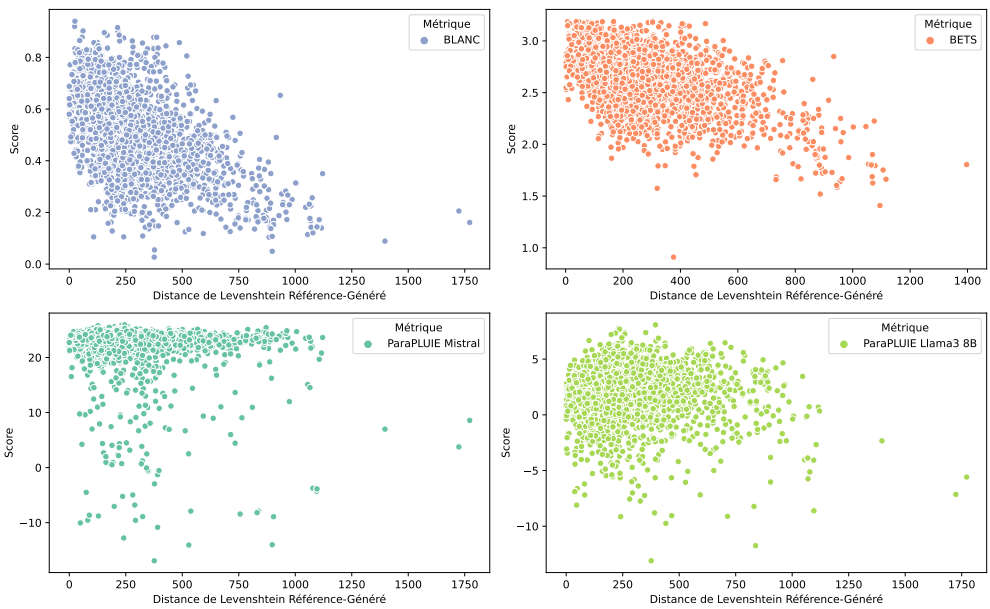


FIGURE 11 – Distribution des scores des métriques alternatives selon la distance de Levenshtein entre le paragraphe généré et de référence.

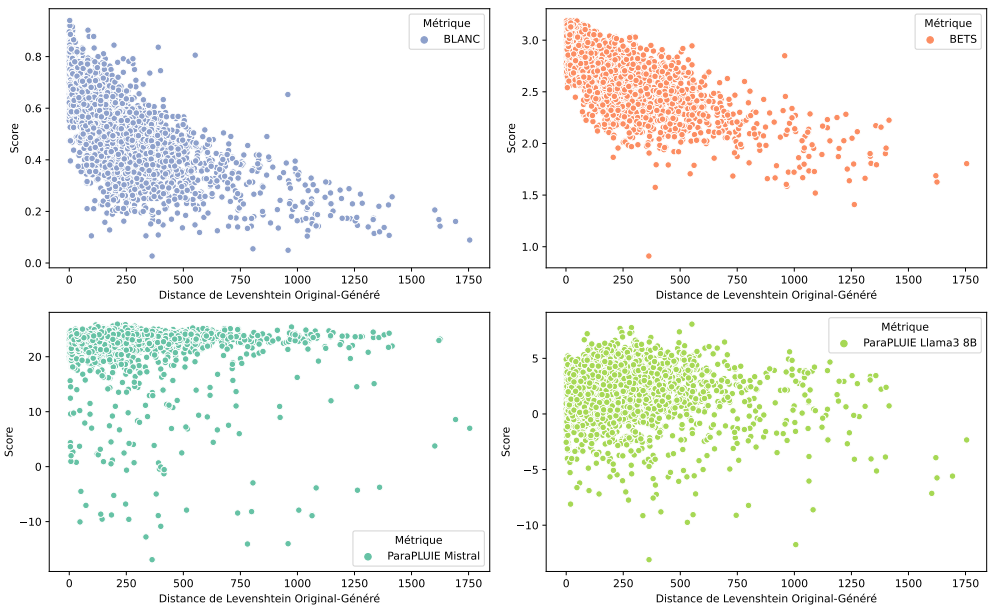


FIGURE 12 – Distribution des scores des métriques alternatives selon la distance de Levenshtein entre le paragraphe original et généré.

F Exemple d'évaluation automatique ne s'alignant pas avec le jugement humain

Voir Figure 13

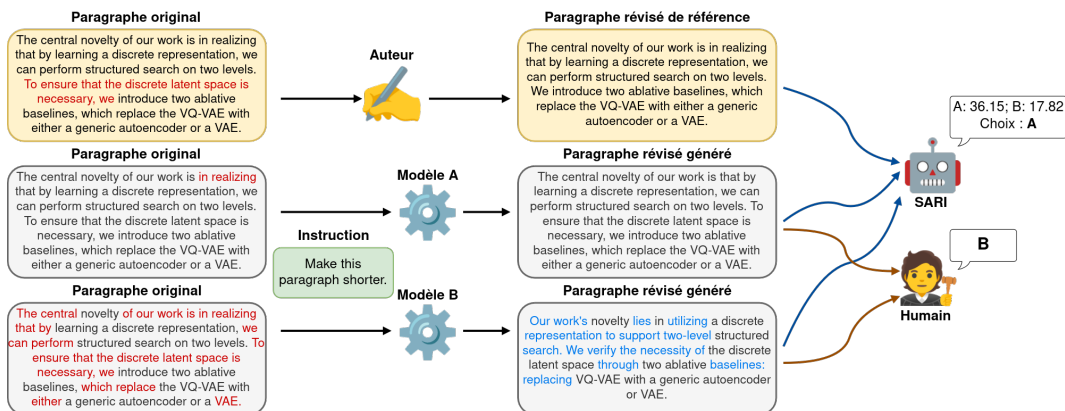


FIGURE 13 – Aperçu de l'évaluation dans un cas où l'évaluation automatique (ici SARI) et le jugement humain ne s'alignent pas.

G Amorces utilisées pour les GML-Juges

Nos amorces sont inspirées par celles utilisées dans Doostmohammadi *et al.* (2024).

Segment d'amorce 2 : Message système GML-Choix sans référence

You are an evaluator of academic writing on the task of text revision. In this task, two revision models have been provided with the original paragraph written for a scientific article and a revision instruction on how to revise the paragraph. You will be given the proposition from the two different models and several questions to determine the quality of those propositions and identify the best one. In your answer please only provide the answers to the questions.

Segment d'amorce 3 : Message système GML-Choix avec référence

You

are an evaluator of academic writing on the task of text revision. In this task, two revisions models have

been provided with the original paragraph written for a scientific article and a revision instruction on how to revise the paragraph. You will be given the proposition from the two different models and several questions to determine the quality of those proposition and identify the best one. **To help you in this task you will also be given the gold paragraph which is the version revised by the author themselves.**

In your answer please only provide the answers to the questions.

Segment d'amorce 4 : Questions spécifiques aux catégories de révisions pour GML-Choix avec et sans référence

Rewriting_light:""

Which model improves the academic style and English the most?""

Rewriting_medium

:""Which model improves the readability and structure the most?""

Rewriting_heavy

:""Which model improves the readability and clarity the most?""

Concision:""Which model manages the most

to give a shorter version while keeping all the important ideas?""

Segment d'amorce 5 : Message utilisateur GML-Choix avec et sans référence

```
[BEGIN DATA]
***
[Original paragraph]: \"{original_paragraph}\"
***
[Revision instruction]: \"{instruction}\"
***
[Model A]: \"{modelA_generated_revised_paragraph}\"
***
[Model B]: \"{modelB_generated_revised_paragraph}\"
***
[END DATA]
```

1. Did model A address the instruction?

Answer "Yes strictly", "Yes with additional modifications" or "No":

-
Yes strictly : The model proposition matches what is required in the instruction. Here, the quality of the revision does not matter.

-
Yes with additional modifications : The model proposed additional modifications to the one required in the instruction. But some of the modification address the needs stated in the instruction.

- No : The model proposition does not match the instruction.

2. Did model B address the instruction? (

Answer "Yes strictly", "Yes with additional modifications" or "No")

3. Is model A revision acceptable? Answer "Yes" or "No". Answer "Yes" if the model made a good quality revision proposition that should replace the original paragraph in the scientific article.

4. Is model B revision acceptable? (Answer "Yes" or "No")

5. Which model proposed the best revision? (

Answer preferably "A" or "B", you can answer "Both" if it is really a tie. Answer "None" if you answered "No" to question 3 and 4.)""
<Additional category questions

depending on the revision intention labels of the instance>

""For all questions, you do not need to explain the reason.

Your response must be RFC8259 compliant JSON following this schema:

```
{{"1": str, "2": str, "3": str, "4": str, "5": str ""
```

```
< "" "6": str "" and "", "7": str ""
```

```
can be added depending on the number of labels of the instance.>
```

```
""}]}
```

Segment d'amorce 6 : Questions spécifiques aux catégories de révisions pour GML-Likert avec et sans référence

Rewriting_light

: ""The academic style and english has been improved.""

Rewriting_medium

: ""The readability and structure has been improved.""

Rewriting_heavy: ""The paragraph has been rewritten in a more well organized and clear version, fitting the academic style.""

Concision: ""The generated

revision is a shorter version that kept all the important ideas.""

Segment d'amorce 7 : Message système GML-Likert sans référence

You

are an evaluator of academic writing on the task of text revision. In this task, a **revision model** have been provided with the original paragraph written for a scientific article and a revision instruction on how to revise the paragraph.

You will be given the proposition from the **revision model** and several **affirmations** to determine the quality of **this** proposition.

You will answer each affirmation with a grade (int) from 1 to 5 as following: 1 = Strongly disagree , 2 = Disagree , 3 = Neutral , 4 = Agree , 5 = Strongly agree

In your answer please only provide the answers to the **affirmations**.

Segment d'amorce 8 : Message Utilisateur GML-Likert sans référence

```
[BEGIN DATA]
***
[Original paragraph]: \"{original_paragraph}\"
***
[Revision instruction]: \"{instruction}\"
***
[Model proposed revision]: \"{model_generated_revised_paragraph}\"
***
[END DATA]
```

1. Relatedness: The generated revision correctly addressed the instruction.

2. Correctness: The generated revision is better than original version in my opinion. ""

<Additional category questions
depending on the revision intention labels of the instance>

""For all questions, you do not need to explain the reason.

Your response must be RFC8259 compliant JSON following this schema:

```
{ "1": str, "2": str, "3": str, "4": str, "5": str ""
```

```
< "" "6": str "" and "", "7": str ""
```

```
can be added depending on the number of labels of the instance.>
```

```
""}]}
```

Segment d'amorce 9 : Message système GML-Likert avec référence

You

are an evaluator of academic writing on the task of text revision. In this task, a revision model have

been provided with the original paragraph written for a scientific article and a revision instruction on how to revise the paragraph.

You will be given the proposition from the revision model and several affirmations to determine the quality of this proposition.

You will answer each affirmation

with a grade (int) from 1 to 5 as following: 1 = Strongly disagree, 2 = Disagree, 3 = Neutral, 4 = Agree, 5 = Strongly agree

To help you in this task you will also be given the gold paragraph which is the version revised by the author themselves.

In your answer please only provide the answers to the affirmations.

Segment d'amorce 10 : Message utilisateur GML-Likert avec référence

```
[BEGIN DATA]
***
[Original paragraph]: \"{original_paragraph}\"
***
[Revision instruction]: \"{instruction}\"
***
[Model proposed revision]: \"{model_generated_revised_paragraph}\"
***
[Gold revised paragraph]: \"{gold}\"
***
[END DATA]
```

- 1. Gold similarity: The generated revision is similar to gold revision.**
2. Relatedness: The generated revision correctly addressed the instruction.
3. Correctness: The generated revision is better than original version in my opinion."""

<Additional category questions

depending on the revision intention labels of the instance>

""""For all questions, you do not need to explain the reason.

Your response must be RFC8259 compliant JSON following this schema:

```
{ "1": str, "2": str, "3": str, "4": str, "5": str ""
```

```
< "" "" "6": str "" "" and "" "", "7": str "" ""
```

can be added depending on the number of labels of the instance.>

```
"""} }
```

H Biais des modèles GMLs sur leurs propres révisions

Comme nous avons utilisé plusieurs GML comme juges que nous avons déjà utilisés pour la révision, nous vérifions dans la Table 6 s'ils sont biaisés en faveur de leur propre proposition. Nous n'observons pas un tel biais, et nous remarquons même que les résultats ont tendance à être cohérents entre les modèles de juges. Cependant, comme ils ont tous tendance à favoriser Mistral 7B nous avons également calculé la distance d'édition moyenne entre le texte original et les textes révisés générés pour tous les modèles de révision. Comme Mistral a la moyenne la plus élevée, cela pourrait indiquer un biais opposé à celui véhiculé par les mesures de similarité : Les approches GML en tant que juge ont tendance à favoriser les propositions avec des révisions plus importantes.

Juge↓/Modèle de révision→	CoEdIT	Mistral 7B	Llama3 8B	Llama3 70B	GPT-4o mini	GPT 4o
Humain	3.29	42.83	46.12	<u>53.68</u>	52.13	58.33
Mistral 7B Choix	21.58	60.92	<u>56.20</u>	55.17	50.65	52.65
Llama 3 8B Choix	3.94	64.66	58.98	<u>62.02</u>	58.08	52.07
Llama 3 70B Choix	1.49	73.00	<u>61.76</u>	59.23	46.06	48.13
GPT-4o mini Choix	1.81	66.86	<u>58.53</u>	57.30	47.61	48.90
GPT-4o Choix	1.94	<u>59.30</u>	58.91	62.98	50.19	52.52
Mistral 7B Gold Choix	23.64	54.65	<u>56.33</u>	56.52	51.16	54.07
Llama 3 8B Gold Choix	14.67	51.62	<u>59.24</u>	60.06	53.68	50.74
Llama 3 70B Gold Choix	1.49	64.47	58.85	<u>61.95</u>	51.10	48.19
GPT-4o mini Gold Choix	2.00	62.73	58.08	<u>59.50</u>	51.61	51.16
GPT-4o Gold Choix	2.33	50.19	52.91	62.98	<u>54.07</u>	52.91
Mistral 7B Likert	5.04	<u>25.65</u>	24.55	23.84	25.97	23.25
Llama 3 8B Likert	6.98	38.11	39.99	36.24	<u>38.56</u>	36.05
Llama 3 70B Likert	2.26	40.38	<u>37.40</u>	32.69	29.20	30.10
GPT-4o mini Likert	1.87	36.95	<u>33.85</u>	31.98	31.52	29.39
GPT-4o Likert	1.36	41.28	<u>47.87</u>	49.61	47.67	46.90
Mistral 7B Likert Gold	11.24	18.41	17.89	<u>19.64</u>	19.05	19.77
Llama 3 8B Likert Gold	10.92	46.25	41.15	<u>42.96</u>	42.18	39.60
Llama 3 70B Likert Gold	2.45	<u>46.19</u>	47.22	44.51	39.28	38.76
GPT-4o mini Likert Gold	2.58	44.06	43.99	<u>45.41</u>	46.51	44.19
GPT-4o Likert Gold	3.88	42.25	<u>49.22</u>	<u>49.22</u>	48.45	51.16
ParaPLUIE Mistral	17.83	72.48	<u>56.20</u>	52.91	47.67	50.39
ParaPLUIE Llama3 8B	20.35	70.74	52.33	<u>54.84</u>	52.33	46.90
Distance d'édition (Original-Generated)	190.82	342.69	<u>270.47</u>	234.95	175.02	197.36

TABLE 6 – Distribution de la préférence étendue stricte (pas d'ex æquo) de chaque GML-juge par modèle de révision.

I Distribution des préférences étendues de chaque GML-Juge

Voir Table 7.

Juge↓/Choix→	Ex æquo	A	B
Humain	14.53	44.25	41.21
Mistral 7B Choix	0.95	82.43	16.63
Llama 3 8B Choix	0.08	53.92	46.00
Llama 3 70B Choix	03.45	52.97	43.58
GPT-4o mini Choix	06.33	39.28	54.39
GPT-4o Choix	04.72	53.62	41.67
Mistral 7B Gold Choix	01.21	77.76	21.04
Llama 3 8B Gold Choix	03.33	23.79	72.85
Llama 3 70B Gold Choix	04.65	51.14	44.21
GPT-4o mini Gold Choix	4.98	39.27	55.75
GPT-4o Gold Choix	08.21	49.94	41.86
Mistral 7B Likert	57.24	22.37	20.39
Llama 3 8B Likert	34.69	34.28	31.03
Llama 3 70B Likert	42.66	28.71	28.64
GPT-4o mini Likert	44.81	27.99	27.2
GPT-4o Likert	21.77	39.02	39.21
Mistral 7B Likert Gold	64.66	17.29	18.05
Llama 3 8B Likert Gold	25.65	38.20	36.16
Llama 3 70B Likert Gold	27.20	35.44	37.36
GPT-4o mini Likert Gold	24.42	37.96	37.62
GPT-4o Likert Gold	18.60	41.54	39.86

TABLE 7 – Distribution de la préférence étendue pour chaque GML-juge

J Impact de la disponibilité de la référence pour les approches GML-Juges

Nous cherchons à savoir si la disponibilité de la référence influence la performance des méthodes GML-Juge et nous trouvons un impact minime, voir Figures 14 et 15. L'exactitude de GML-Choix a légèrement variée de 0,496 à 0,494 lorsque la référence est fournie et de 0,338 à 0,363 pour GML-Likert. Nos résultats contrastent avec [Doostmohammadi et al. \(2024\)](#), qui indique qu'en l'absence d'une référence, GPT-4o présente un alignement plus faible avec les jugements humains. Ceci suggère que les GMLs s'appuient fortement sur leur propre raisonnement interne plutôt que sur des comparaisons directes avec une révision de référence.

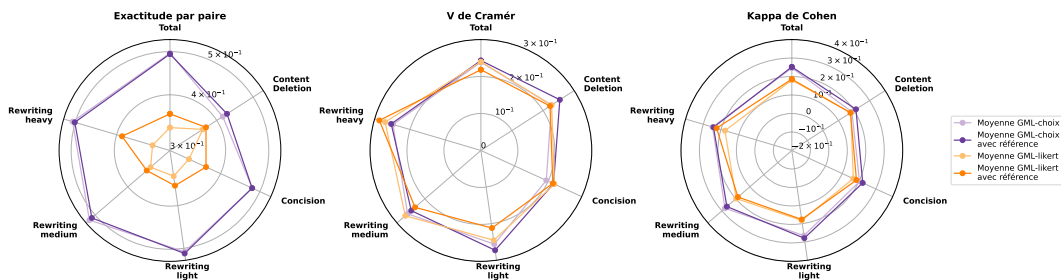


FIGURE 14 – Alignement des approches GML-juge avec les annotations humaines par catégories de révision.

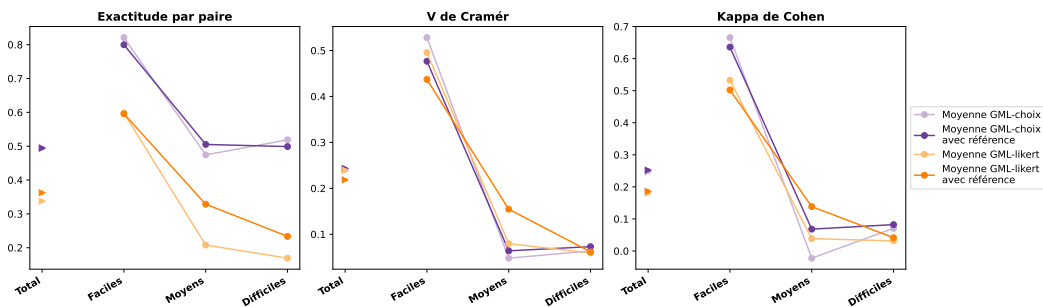


FIGURE 15 – Alignement des approches GML-juge approches avec les annotations humaines par difficulté. Les triangles dans la première colonne représentent l'accord sur le jeu de données complet.

K Distribution du *suivi de l'instruction* et de l'*acceptabilité* pour les approches GML-Juges

Voir Table 8

Modèle	Suivi de l'instruction (Exactitude Stricte)	Suivi de l'instruction (Exactitude souple)	Acceptabilité (Exactitude)
gpt-4o	67.03	84.69	<u>76.78</u>
gpt-4o-gold	62.99	84.66	76.94
gpt-4o-mini	62.26	85.30	76.04
gpt-4o-mini-gold	58.95	<u>85.14</u>	75.91
llama3-70b	<u>66.66</u>	82.11	75.96
llama3-70b-gold	66.48	82.37	76.10
llama3-8b	45.41	80.16	72.30
llama3-8b-gold	40.55	77.70	61.93
mistral-gold	58.78	75.19	62.37
mistral	58.98	75.27	62.58

TABLE 8 – Exactitude de GML-Choix sur les questions préliminaires : *suivi de l'instruction (Relatedness)* et de l'*acceptabilité (Correctness)*. Pour le *suivi de l'instruction*, en exactitude souple, on fusionne les catégories "Yes stricly" et "Yes with additional modifications".

L Alignement de toutes les métriques

Voir les Figures 16 et 17

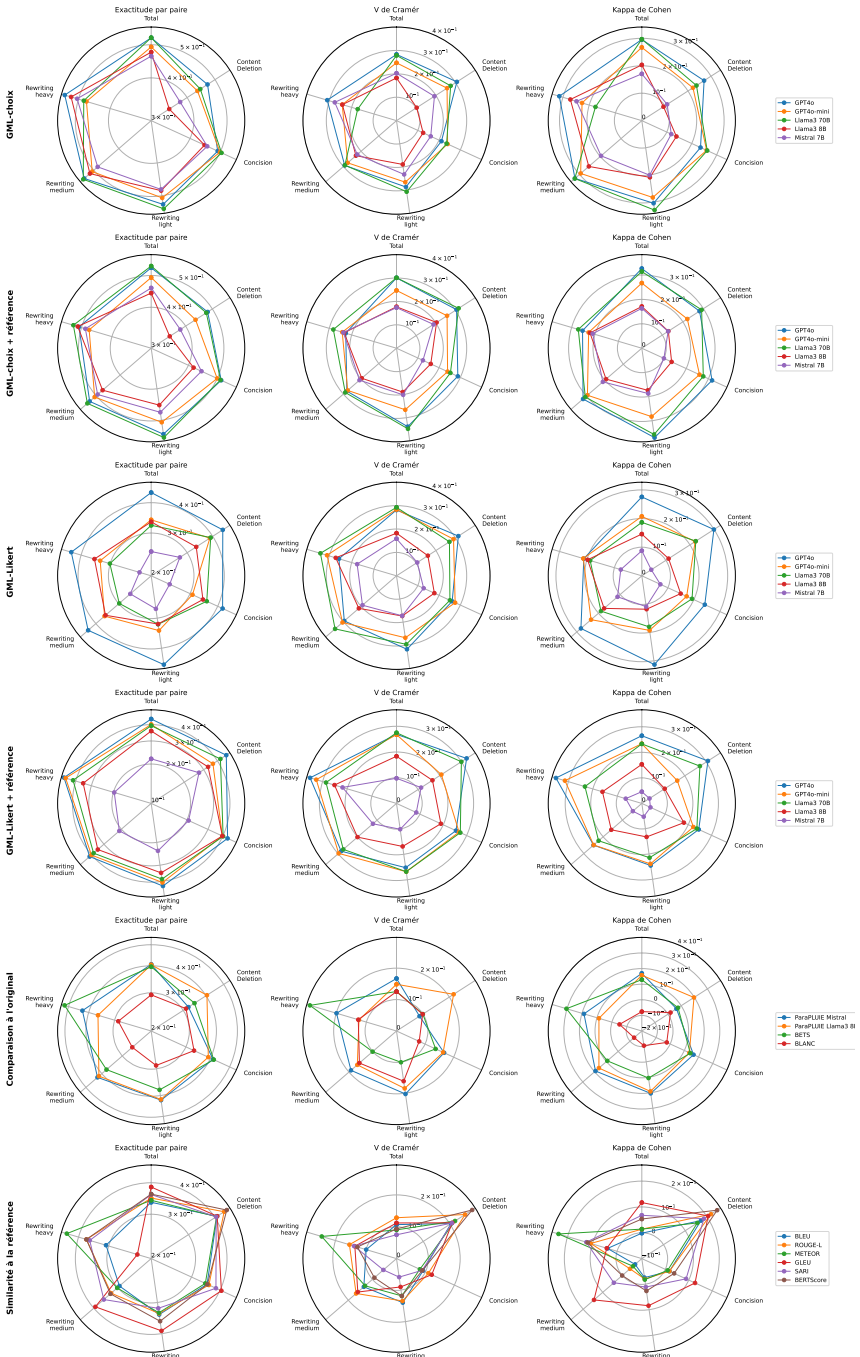


FIGURE 16 – Alignement des métriques aux annotations humaines par type de métrique et de révision.

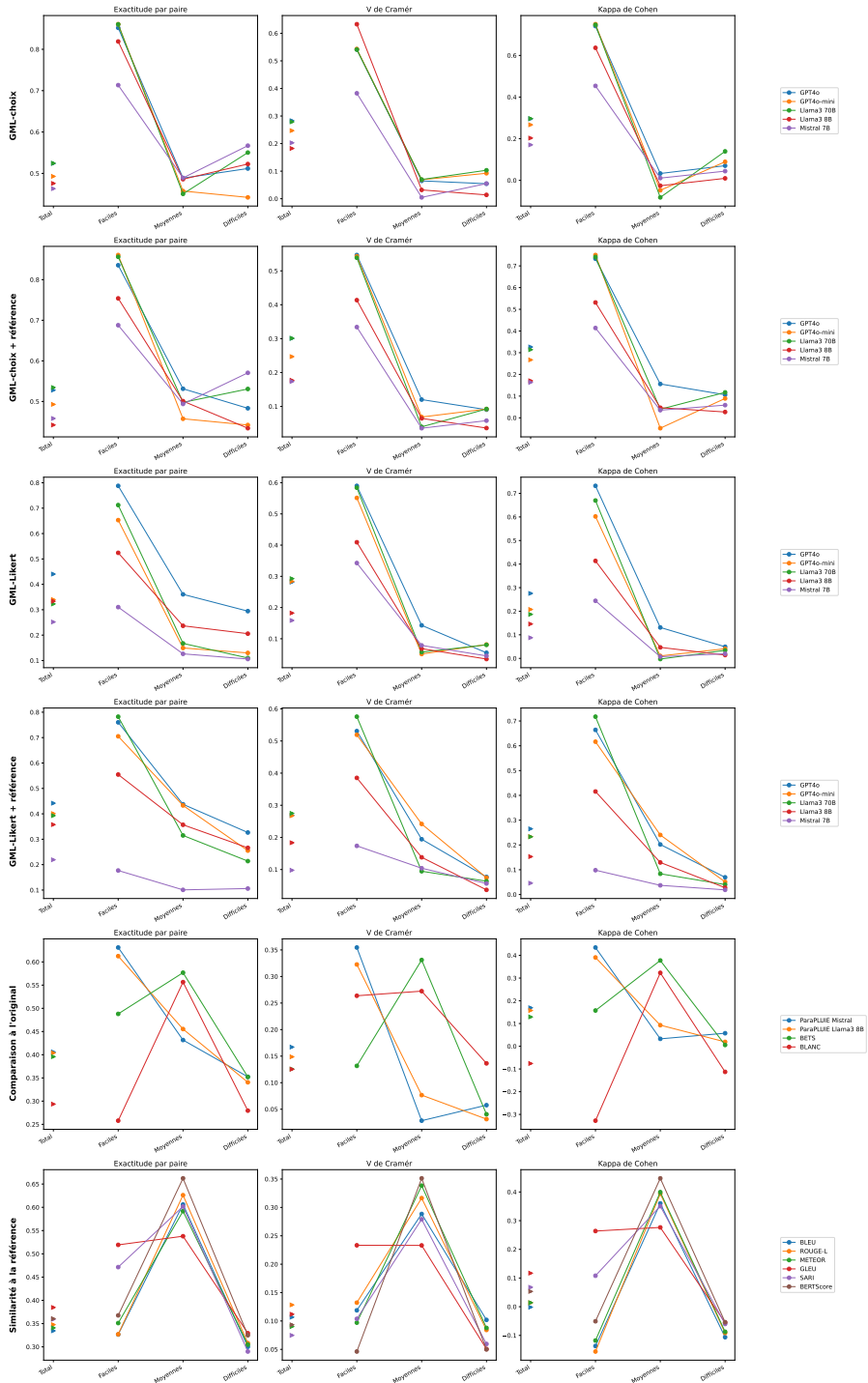


FIGURE 17 – Alignement des métriques aux annotations humaines par type de métrique et par difficulté.

M Limites

La principale limite de ce travail est la taille du jeu de données, car nous étions limités par la taille du jeu l'évaluation de ParaRev et nous ne disposions que d'un nombre limité de chercheurs volontaires pour l'annotation manuelle. Cette annotation devant être effectuée par des annotateurs-rices qualifiés-ées (des chercheurs-euses), nos ressources humaines sont très limitées conduisant à un jeu double annoté plus petit. Une plus grande quantité de données annotées augmenterait la fiabilité de notre analyse, renforçant ainsi les observations que nous avons faites dans ce papier.

En outre, l'annotation basée sur les préférences est intrinsèquement subjective, comme le montrent les scores Kappa de Cohen dans la Table 1. Pour le jeu de données ParaReval, nous avons d'abord annoté un sous-ensemble avec des doubles annotations et conservé les annotations des chercheurs dont l'accord était le plus élevé. Ceux qui ont obtenu les scores d'accord les plus élevés ont poursuivi le processus d'annotation afin d'améliorer la fiabilité. Le choix des annotateurs (domaine du TAL uniquement) peut également introduire un biais.

Nous avons également été limités par les ressources de calcul, as GMLs utilisant beaucoup d'énergie. Notre priorité a été de s'assurer que nos résultats sont indépendants du modèle utilisé, nous avons donc effectué la même expérience avec différents modèles mais en utilisant un seul prompt. Cependant, il aurait été préférable de s'assurer également de l'aspect indépendant du prompt des résultats (Mizrahi *et al.*, 2024).

Enfin, de nombreuses méthodes et métriques ont été proposées pour évaluer les tâches de génération de texte au fil des années. Pour garder notre analyse claire, nous en avons considéré un nombre limité. Pour les approches basées sur le GML, un plus grand nombre d'exécutions aurait été préférable pour GPT-4o mais pour des raisons de coût, nous avons dû le limiter à une exécution par approche.

N Considérations éthiques

Disponibilité des données Toutes les données proviennent du corpus ParaRev les paragraphes sont extraits d'articles scientifiques collectés sur OpenReview où ils sont soumis à différentes "non-exclusive, perpetual, and royalty-free license"³.

Ressources de calcul

- Pour générer des révisions avec Co-edit et expérimenter avec les métriques basées sur BERT, nous avons utilisé un GPU local GeForce RTX 2080 11Go pendant environ 12 heures.
- Pour utiliser ParaPLUIE et les différents GMLs ouverts pour générer des révisions et des évaluations, nous avons utilisé des GPU V100 et A100 pendant un total de 249 heures sur un supercalculateur, équivalant à 0,009 tonne de CO_2 .
- Pour utiliser GPT-4o mini et GPT-4o nous avons dépensé 29,01\$ en crédits API GPT.

3. <https://openreview.net/legal/terms>